ICS 35.040
L 80

中华人民共和国国家标准

GB/T 38635.1—2020

信息安全技术　SM9 标识密码算法 第 1 部分：总则

Information security technology—Identity-based cryptographic algorithms SM9—Part 1：General

2020-04-28 发布　　2020-11-01 实施

国家市场监督管理总局
国家标准化管理委员会　发布

目　　次

前　言

GB/T 38635《信息安全技术　SM9 标识密码算法》分为两个部分：

——第 1 部分：总则；

——第 2 部分：算法。

本部分为 GB/T 38635 的第 1 部分。

本部分按照 GB/T 1.1—2009 给出的规则起草。

请注意本文件的某些内容可能涉及专利。本文件的发布机构不承担识别这些专利的责任。

本部分由全国信息安全标准化技术委员会(SAC/TC 260)提出并归口。

本部分起草单位：国家信息安全工程技术研究中心、北京国脉信安科技有限公司、深圳奥联信息安全技术有限公司、中国科学院软件研究所、武汉大学、中科院信息工程研究所。

本部分主要起草人：陈晓、程朝辉、张振峰、叶顶峰、胡磊、陈建华、季庆光、袁文恭、刘平、马宁、袁峰、李增欣、王学进、杨恒亮、张青坡、马艳丽、浦雨三、唐英、孙移盛、安萱、封维端、张立圆。

引　言

A.Shamir 在 1984 年提出了标识密码(Identity-based cryptography)的概念,在标识密码系统中,用户的私钥由密钥生成中心(KGC)根据主密钥和用户标识计算得出,用户的公钥由用户标识唯一确定,由标识管理者保证标识的真实性。与基于证书的公钥密码系统相比,标识密码系统中的密钥管理环节可以得到适当简化。

1999 年,K.Ohgishi、R.Sakai 和 M.Kasahara 在日本提出了用椭圆曲线对(pairing)构造基于标识的密钥共享方案;2001 年,D.Boneh 和 M.Franklin,以及 R.Sakai、K.Ohgishi 和 M.Kasahara 等人独立提出了用椭圆曲线对构造标识公钥加密算法。这些工作引发了标识密码的新发展,出现了一批用椭圆曲线对实现的标识密码算法,其中包括数字签名算法、密钥交换协议、密钥封装机制和公钥加密算法等。

椭圆曲线对具有双线性的性质,它在椭圆曲线的循环子群与扩域的乘法循环子群之间建立联系,构成了双线性 DH、双线性逆 DH、判定性双线性逆 DH、τ-双线性逆 DH 和 τ-Gap-双线性逆 DH 等难题,当椭圆曲线离散对数问题和扩域离散对数问题的求解难度相当时,可用椭圆曲线对构造出安全性和实现效率兼顾的标识密码。

信息安全技术　SM9 标识密码算法
第 1 部分：总则

1　范围

GB/T 38635 的本部分规定了 SM9 标识密码算法涉及的必要相关数学基础知识、密码技术和具体参数。

本部分适用于 SM9 标识密码的实现和应用。

2　规范性引用文件

下列文件对于本文件的应用是必不可少的。凡是注日期的引用文件，仅注日期的版本适用于本文件。凡是不注日期的引用文件，其最新版本(包括所有的修改单)适用于本文件。

GB/T 32905　信息安全技术　SM3 密码杂凑算法

GB/T 32907　信息安全技术　SM4 分组密码算法

3　术语和定义

下列术语和定义适用于本文件。

3.1

标识　identity

由实体无法否认的信息组成，如实体的可识别名称、电子邮箱、身份证号、电话号码、街道地址等，可唯一确定一个实体的身份。

3.2

主密钥　master key

处于标识密码密钥分层结构最顶层的密钥，包括主私钥和主公钥，其中主公钥公开，主私钥由 KGC 秘密保存。KGC 用主私钥和用户的标识生成用户的私钥。在标识密码中，主私钥一般由 KGC 通过随机数发生器产生，主公钥由主私钥结合系统参数产生。

3.3

密钥生成中心　key generation center；KGC

在 SM9 标识密码中，负责选择系统参数、生成主密钥并产生用户私钥的可信机构。

3.4

SM3 算法　SM3 algorithm

由 GB/T 32905 定义的一种杂凑算法。

3.5

SM4 算法　SM4 algorithm

由 GB/T 32907 定义的一种分组加密算法。

4　符号

下列符号适用于本文件。

cf：椭圆曲线阶相对于 N 的余因子。

cid：用一个字节表示的曲线识别符，用以区分所用曲线的类型。

$\deg(f)$：多项式 $f(x)$的次数。

d_1、d_2：k 的两个因子。

E：定义在有限域上的椭圆曲线。

$ECDLP$：椭圆曲线离散对数问题。

$E(F_q)$：有限域 F_q 上椭圆曲线 E 的所有有理点(包括无穷远点 O)组成的集合。

$E(F_q)[r]$：$E(F_q)$上 r-扭点的集合[即曲线 $E(F_q)$上的 r 阶扭子群]。

e：从 $G_1\times G_2$ 到 G_T 的双线性对。

eid：用一个字节表示的双线性对 e 的识别符，用以区分所用双线性对的类型。

$FDLP$：有限域上离散对数问题。

F_p：包含 p 个元素的素域。

F_q：包含 q 个元素的有限域。

F_q^*：由 F_q 中所有非零元构成的乘法群。

F_{q^m}：有限域 F_q 的 m 次扩域。

G_T：阶为素数 N 的乘法循环群。

G_1：阶为素数 N 的加法循环群。

G_2：阶为素数 N 的加法循环群。

$\gcd(x,y)$：x 和 y 的最大公因子。

k：曲线 $E(F_q)$相对于 N 的嵌入次数，其中 N 是 $\#E(F_q)$的素因子。

m：有限域 F_{q^m} 关于 F_q 的扩张次数。

$\mathrm{mod}f(x)$：模多项式 $f(x)$的运算。

$\mathrm{mod}n$：模 n 运算。

示例：$23 \bmod 7=2$。

N：循环群 G_1、G_2 和 G_T 的阶，为大于 2^{191} 的素数。

O：椭圆曲线上的一个特殊点，称为无穷远点或零点，是椭圆曲线加法群的单位元。

P：$P=(x_P,y_P)$ 是椭圆曲线上除 O 之外的一个点，其坐标 x_P，y_P 满足椭圆曲线方程。

P_1：G_1 的生成元。

P_2：G_2 的生成元。

$P+Q$：椭圆曲线 E 上两个点 P 与 Q 的和。

p：大于 2^{191} 的素数。

q：有限域 F_q 中元素的数目。

x_P：点 P 的 x 坐标。

$x\parallel y$：x 与 y 的拼接，其中 x 和 y 是比特串或字节串。

$x\equiv y\pmod q$：x 与 y 模 q 同余。即，$x \bmod q=y \bmod q$。

y_P：点 P 的 y 坐标。

$\#E(K)$：$E(K)$上点的数目，称为椭圆曲线群 $E(K)$的阶，其中 K 为有限域(包括 F_q 和 F_{q^k})。

$<P>$：由椭圆曲线上点 P 生成的循环群。

$[u]P$：椭圆曲线上点 P 的 u 倍点。

$[x,y]$：不小于 x 且不大于 y 的整数的集合。

$\lceil x\rceil$：顶函数，不小于 x 的最小整数。例如，$\lceil 7\rceil=7$，$\lceil 8.3\rceil=9$。

$\lfloor x\rfloor$：底函数，不大于 x 的最大整数。例如，$\lfloor 7\rfloor=7$，$\lfloor 8.3\rfloor=8$。

β：扭曲线参数。

ψ：G_2到G_1的同态映射，满足 $P_1=\psi(P_2)$。

$\oplus$：长度相等的两个比特串按比特的模 2 加运算。

5 有限域和椭圆曲线

5.1 有限域

5.1.1 概述

域由一个非空集合 F 和两种运算共同组成，这两种运算分别为加法（用“+”表示）和乘法（用“·”表示），并且满足下列算术特性：

a） $(F,+)$对于加法运算构成加法交换群，单位元用 0 表示；

b） $(F\setminus\{0\},\cdot)$对于乘法运算构成乘法交换群，单位元用 1 表示；

c） 分配律成立：对于所有的 $a,b,c\in F$，都有$(a+b)\cdot c=a\cdot c+b\cdot c$。

若集合 F 是有限集合，则称域为有限域。有限域的元素个数称为有限域的阶。

5.1.2 素域 F_p

阶为素数的有限域是素域。

设 p 是一个素数，则整数模 p 的全体余数的集合$\{0,1,2,\ldots,p-1\}$关于模 p 的加法和乘法构成一个 p 阶素域，用符号 F_p 表示。

F_p 具有如下性质：

a） 加法单位元是 0；

b） 乘法单位元是 1；

c） 域元素的加法是整数的模 p 加法，即若 $a,b\in F_p$，则 $a+b=(a+b)\bmod p$；

d） 域元素的乘法是整数的模 p 乘法，即若 $a,b\in F_p$，则 $a\cdot b=(a\cdot b)\bmod p$。

5.1.3 有限域 F_q 的 m 次扩域 F_{q^m}

设 q 是一个素数或素数方幂，$f(x)$是多项式环 $F_q[x]$上的一个 $m(m>1)$次不可约多项式（称为约化多项式或域多项式），商环 $F_q[x]/(f(x))$是含 q^m 个元素的有限域（记为 F_{q^m}），称 F_{q^m} 是有限域 F_q 的扩域，域 F_q 为域 F_{q^m} 的子域，m 为扩张次数。F_{q^m} 可以看成 F_q 上的 m 维向量空间。F_{q^m} 的每一个元可以唯一地写成$a_0\beta_0+a_1\beta_1+\cdots+a_{m-1}\beta_{m-1}$的形式，其中 $a_i\in F_q$，而 $\beta_0,\beta_1,\ldots,\beta_{m-1}$是向量空间 F_{q^m} 在 F_q 上的一组基。

F_{q^m} 中的元素可以用多项式基或正规基表示。在本部分中，如果不作特别说明，F_{q^m} 中元素均采用多项式基表示。

不可约多项式 $f(x)$可取为首一的多项式 $f(x)=x^m+f_{m-1}x^{m-1}+\cdots+f_2x^2+f_1x+f_0$（其中 $f_i\in F_q,i=0,1,\ldots,m-1$），$F_{q^m}$ 中的元素由多项式环 $F_q[x]$中所有次数低于 m 的多项式构成。多项式集合$\{x^{m-1},x^{m-2},\ldots,x,1\}$是 F_{q^m} 在 F_q 上的一组基，称为多项式基。域 F_{q^m} 上的任意一个元素 $a(x)=a_{m-1}x^{m-1}+a_{m-2}x^{m-2}+\cdots+a_1x+a_0$在 F_q 上的系数恰好构成了一个 m 维向量，用 $a=(a_{m-1},a_{m-2},\ldots,a_1,a_0)$表示，其中分量 $a_i\in F_q,i=0,1,\ldots,m-1$。

F_{q^m} 具有如下性质：

a） 零元 0 用 m 维向量$(0,\ldots,0,0)$表示；

b） 乘法单位元 1 用 m 维向量$(0,\ldots,0,1)$表示；

c） 两个域元素的加法为向量加法，各个分量用域 F_q 的加法；

d） 域元素 a 和 b 的乘法定义如下：设 a 和 b 对应的 F_q 上多项式为 $a(x)$和 $b(x)$，则 $a\cdot b$ 定义为

多项式$(a(x)\cdot b(x))\ \mathrm{mod}f(x)$对应的向量；

e) 逆元：设 a 对应的 F_q 上多项式为 $a(x)$，a 的逆元 a^{-1} 对应的 F_q 上多项式为 $a^{-1}(x)$，那么有 $a(x)\cdot a^{-1}(x)\equiv 1 \bmod f(x)$。

本部分使用 F_q 上的 12 次扩域见附录 A。

关于有限域的扩域 F_{q^m} 更多细节，参见附录 B 中的 B.1。

5.2 有限域上的椭圆曲线

有限域 $F_{q^m}(m\geqslant 1)$ 上的椭圆曲线是由点组成的集合。在仿射坐标系下，椭圆曲线上点 P（非无穷远点）用满足一定方程的两个域元素 x_P 和 y_P 表示，x_P，y_P 分别称为点 P 的 x 坐标和 y 坐标，并记 $P=(x_P,y_P)$。

本部分描述特征为大素数 p 的域上的曲线。

本部分如果不作特别说明，椭圆曲线上的点均采用仿射坐标表示。

定义在 F_{p^m} 上的椭圆曲线方程见式(1)：

$$y^2=x^3+ax+b,a,b\in F_{p^m},\text{且 } 4a^3+27b^2\neq 0 \qquad \cdots\cdots(1)$$

椭圆曲线 $E(F_{p^m})$ 定义为：

$E(F_{p^m})=\{(x,y)\mid x,y\in F_{p^m},\text{且满足式(1)}\}\cup\{O\}$，其中 O 是无穷远点。

椭圆曲线 $E(F_{p^m})$ 上的点的数目用 $\sharp E(F_{p^m})$ 表示，称为椭圆曲线 $E(F_{p^m})$ 的阶。

本部分规定素数 $p>2^{191}$。

设 E 和 E' 是定义在 F_q 上的椭圆曲线，如果存在一个同构映射 $\phi_d:E'(F_{q^d})\to E(F_{q^d})$，其中 d 是使映射存在的最小整数，则称 E' 为 E 的 d 次扭曲线。当 $p\geqslant 5$ 时，d 的取值有三种情况：

a) 若 $a=0,b\neq 0$，那么 $d=6$，$E':y^2=x^3+\beta b$，$\phi_6:E'\to E:(x,y)\mapsto(\beta^{-1/3}x,\beta^{-1/2}y)$；

b) 若 $b=0,a\neq 0$，那么 $d=4$，$E':y^2=x^3+\beta ax$，$\phi_4:E'\to E:(x,y)\mapsto(\beta^{-1/2}x,\beta^{-3/4}y)$；

c) 若 $a\neq 0,b\neq 0$，那么 $d=2$，$E':y^2=x^3+\beta^2 ax+\beta^3 b$，$\phi_2:E'\to E:(x,y)\mapsto(\beta^{-1}x,\beta^{-3/2}y)$。

5.3 椭圆曲线群

椭圆曲线 $E(F_{p^m})$ $(m\geqslant 1)$ 上的点按照下面的加法运算规则，构成一个交换群：

a) $O+O=O$。

b) $\forall P=(x,y)\in E(F_{p^m})\backslash\{O\}$，$P+O=O+P=P$。

c) $\forall P=(x,y)\in E(F_{p^m})\backslash\{O\}$，$P$ 的逆元素 $-P=(x,-y)$，$P+(-P)=O$。

d) 两个非互逆的不同点相加的规则：

设 $P_1=(x_1,y_1)\in E(F_{p^m})\backslash\{O\}$，$P_2=(x_2,y_2)\in E(F_{p^m})\backslash\{O\}$，且 $x_1\neq x_2$，

设 $P_3=(x_3,y_3)=P_1+P_2$，则：

$$\begin{cases}x_3=\lambda^2-x_1-x_2\\ y_3=\lambda(x_1-x_3)-y_1\end{cases}$$

其中：

$$\lambda=\frac{y_2-y_1}{x_2-x_1}。$$

e) 倍点规则：

设 $P_1=(x_1,y_1)\in E(F_{p^m})\backslash\{O\}$，且 $y_1\neq 0$，$P_3=(x_3,y_3)=P_1+P_1$，

则：

$$\begin{cases}x_3=\lambda^2-2x_1\\ y_3=\lambda(x_1-x_3)-y_1\end{cases}$$

其中：

$$\lambda=\frac{3x_1^2+a}{2y_1}。$$

5.4 椭圆曲线多倍点运算

椭圆曲线上同一个点的重复相加称为该点的多倍点运算。设 u 是一个正整数，P 是椭圆曲线上的点，其 u 倍点 $Q=[u]P=\underbrace{P+P+\cdots+P}_{u个}$。

多倍点运算可以扩展到 0 倍点运算和负数倍点运算：$[0]P=O$，$[-u]P=[u](-P)$。

多倍点运算可以通过一些技巧有效地实现，参见 B.2。

5.5 椭圆曲线子群上点的验证

输入：定义 F_{q^m} 上（q 为奇素数，$m\geqslant 1$）椭圆曲线方程的参数 a、b，椭圆曲线 $E(F_{q^m})$ 上子群 G 的阶 N，F_{q^m} 上的一对元素 (x,y)。

输出：若 (x,y) 是群 G 中的元素，则输出“有效”；否则输出“无效”。

计算步骤为：

a) 在 F_{q^m} 上验证 (x,y) 是否满足椭圆曲线方程 $y^2=x^3+ax+b$；

b) 令 $Q=(x,y)$，验证 $[N]Q=O$。

若以上任何一项验证失败，则输出“无效”；否则，输出“有效”。

5.6 离散对数问题

5.6.1 有限域上离散对数问题（FDLP）

有限域 F_{q^m}（q 为奇素数，$m\geqslant 1$）的全体非零元素构成一个乘法循环群，记为 $F_{q^m}^*$。$F_{q^m}^*$ 中存在元素 g，使得 $F_{q^m}^*=\{g^i\mid 0\leqslant i\leqslant q^m-2\}$，称 g 为生成元。$F_{q^m}^*$ 中元素 a 的阶是满足 $a^t=1$ 的最小正整数 t。群 $F_{q^m}^*$ 的阶为 q^m-1，因此 $t\mid q^m-1$。

设乘法循环群 $F_{q^m}^*$ 的生成元为 g，$y\in F_{q^m}^*$，有限域上离散对数问题是指确定整数 $x\in[0,q^m-2]$，使得 $y=g^x$ 在 $F_{q^m}^*$ 上成立。

5.6.2 椭圆曲线离散对数问题（*ECDLP*）

已知椭圆曲线 $E(F_{q^m})$（$m\geqslant 1$），阶为 n 的点 $P\in E(F_{q^m})$ 及 $Q\in<P>$，椭圆曲线离散对数问题是指确定整数 $l\in[0,n-1]$，使得 $Q=[l]P$ 成立。

6 双线性对及安全曲线

6.1 双线性对

设 $(G_1,+)$、$(G_2,+)$ 和 $(G_T,\cdot)$ 是三个循环群，G_1、G_2 和 G_T 的阶均为素数 N，P_1 是 G_1 的生成元，P_2 是 G_2 的生成元，存在 G_2 到 G_1 的同态映射 ψ 使得 $\psi(P_2)=P_1$。

双线性对 e 是 $G_1\times G_2\rightarrow G_T$ 的映射，满足以下条件：

a) 双线性性：对任意的 $P\in G_1$，$Q\in G_2$，a ，$b\in Z_N$，有 $e([a]P,[b]Q)=e(P,Q)^{ab}$；

b) 非退化性：$e(P_1,P_2)\neq 1_{G_T}$；

c) 可计算性：对任意的 $P\in G_1$，$Q\in G_2$，存在有效的算法计算 $e(P,Q)$。

所用的双线性对定义在椭圆曲线群上，主要有 Weil 对、Tate 对、Ate 对、R-ate 对等，相关描述参见

附录 C。

6.2 安全性

双线性对的安全性主要建立在以下几个问题的难解性基础之上：

问题 1［双线性逆 DH(BIDH)］对 $a,b\in[1,N-1]$，给定$([a]P_1,[b]P_2)$，计算 $e(P_1,P_2)^{b/a}$ 是困难的。

问题 2［判定性双线性逆 DH(DBIDH)］对 $a,b,r\in[1,N-1]$，区分$(P_1,P_2,[a]P_1,[b]P_2,e(P_1,P_2)^{b/a})$和$(P_1,P_2,[a]P_1,[b]P_2,e(P_1,P_2)^{r})$是困难的。

问题 3［τ-双线性逆 DH(τ-BDHI)］对正整数 τ 和 $x\in[1,N-1]$，给定$(P_1,[x]P_1,P_2,[x]P_2,[x^2]P_2,\ldots,[x^\tau]P_2)$，计算 $e(P_1,P_2)^{1/x}$ 是困难的。

问题 4［τ-Gap-双线性逆 DH(τ-Gap-BDHI)］对正整数 τ 和 $x\in[1,N-1]$，给定$(P_1,[x]P_1,P_2,[x]P_2,[x^2]P_2,\cdots,[x^\tau]P_2)$和 DBIDH 确定算法，计算 $e(P_1,P_2)^{1/x}$ 是困难的。

上述问题的难解性是 SM9 标识密码的安全性的重要基础，这些问题的难解性都意味着 G_1、G_2 和 G_T 上的离散对数问题难解，选取的椭圆曲线应首先使得离散对数问题难解。

6.3 嵌入次数及安全曲线

设 G 是椭圆曲线 $E(F_q)$ 的 N 阶子群，使 $N\mid q^k-1$ 成立的最小正整数 k 称为子群 G 相对于 N 的嵌入次数，也称为曲线 $E(F_q)$ 相对于 N 的嵌入次数。

设 G_1 是 $E(F_{q^{d_1}})$(d_1 整除 k)的 N 阶子群，G_2 是 $E(F_{q^{d_2}})$(d_2 整除 k)的 N 阶子群，则椭圆曲线双线性对的值域 G_T 是 $F_{q^k}^*$ 的子群，因此椭圆曲线双线性对可将椭圆曲线离散对数问题转化为有限域 $F_{q^k}^*$ 上离散对数问题。嵌入次数越大安全性越高，但双线性对的计算越困难，因而需要采用嵌入次数适中且达到安全性标准的椭圆曲线。本部分规定 $q^k>2^{1\,536}$。

本部分规定选用如下的曲线：

a) 基域 q 为大于 2^{191} 的素数、嵌入次数 $k=2^i3^j$ 的常曲线，其中 $i>0,j\geqslant0$；

b) 基域 q 为大于 2^{768} 的素数、嵌入次数 $k=2$ 的超奇异曲线。

对小于 2^{360} 的 N，建议：

a) $N-1$ 含有大于 2^{190} 的素因子；

b) $N+1$ 含有大于 2^{120} 的素因子。

7 数据类型及其转换

7.1 数据类型

本部分规定的数据类型包括比特串、字节串、域元素、椭圆曲线上的点和整数。

比特串：有序的 0 和 1 的序列。

字节串：有序的字节序列，其中 8 比特为 1 个字节，最左边的比特为最高位。

域元素：有限域 F_{q^m}($m\geqslant1$)中的元素。

椭圆曲线上的点：椭圆曲线 $E(F_{q^m})$($m\geqslant1$)上的点 P 或者是无穷远点 O，或者是一对域元素(x_P,y_P)，其中域元素 x_P 和 y_P 满足椭圆曲线方程。

点的字节串表示有多种形式，用一个字节 PC 加以标识。无穷远点 O 的字节串表示是单一的零字节 $PC=00$。非无穷远点 $P=(x_P,y_P)$ 有以下三种字节串表示形式：

a) 压缩表示形式，$PC=02$ 或 03；

b) 未压缩表示形式，$PC=04$；

c) 混合表示形式，$PC=06$ 或 07。

注：混合表示形式既包含压缩表示形式又包含未压缩表示形式。在实现中，它允许转换到压缩表示形式或者未压缩表示形式。对于椭圆曲线上点的压缩表示形式和混合表示形式，本部分定为可选形式。椭圆曲线上点的压缩表示形式参见 B.4。

7.2 数据类型转换

7.2.1 数据类型转换关系

图 1 表示了各种数据类型之间的转换关系，线上的标志是相应数据转换方法所在的条号。

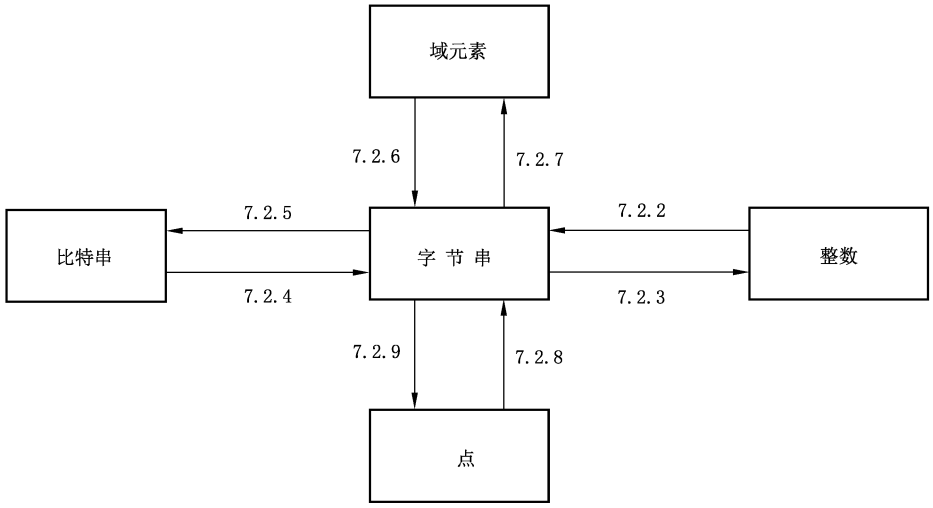

图 1 数据类型和转换约定示意图

7.2.2 整数到字节串的转换

输入：非负整数 x，以及字节串的目标长度 l（其中 l 满足 $2^{8l}>x$）。

输出：长度为 l 的字节串 M。

计算步骤为：

a) 设 $M_{l-1},M_{l-2},\ldots,M_0$ 是 M 从最左边到最右边的字节；

b) M 的字节满足：

$$x=\sum_{i=0}^{l-1}2^{8i}M_i \text{ 。}$$

7.2.3 字节串到整数的转换

输入：长度为 l 的字节串 M。

输出：整数 x。

计算步骤为：

a) 设 $M_{l-1},M_{l-2},\ldots,M_0$ 是 M 从最左边到最右边的字节；

b) 将 M 转换为整数 x：

$$x=\sum_{i=0}^{l-1}2^{8i}M_i \text{ 。}$$

7.2.4 比特串到字节串的转换

输入：长度为 n 的比特串 s。

输出：长度为 l 的字节串 M，其中 $l=\lceil n/8 \rceil$。

计算步骤为：

a) 设 $s_{n-1},s_{n-2},\ldots,s_0$ 是 s 从最左边到最右边的比特；

b) 设 $M_{l-1},M_{l-2},\ldots,M_0$ 是 M 从最左边到最右边的字节，则：

$M_i=s_{8i+7}s_{8i+6}\cdots s_{8i+1}s_{8i}$，其中 $0\leqslant i<l$，当 $8i+j\geqslant n$，$0<j\leqslant 7$ 时，$s_{8i+j}=0$。

7.2.5 字节串到比特串的转换

输入：长度为 l 的字节串 M。

输出：长度为 n 的比特串 s，其中 $n=8l$。

计算步骤为：

a) 设 $M_{l-1},M_{l-2},\ldots,M_0$ 是 M 从最左边到最右边的字节；

b) 设 $s_{n-1},s_{n-2},\ldots,s_0$ 是 s 从最左边到最右边的比特，则 s_i 是 M_j 右起第 $i-8j+1$ 比特，其中 $j=\lfloor i/8 \rfloor$。

7.2.6 域元素到字节串的转换

输入：$F_{q^m}(m\geqslant 1)$ 中的元素 $\alpha=(a_{m-1},a_{m-2},\ldots,a_1,a_0)$，$q=p$。

输出：长度 l 的字节串 S，其中 $l=\lceil \log_2 q/8 \rceil \times m$。

计算步骤为：

a) 若 $m=1$，则 $\alpha=a_0(q=p)$，α 必为区间$[0,q-1]$中的整数，按 7.2.2 的细节把 α 转换成长度为 l 的字节串 S；

b) 若 $m>1$，则 $\alpha=(a_{m-1},a_{m-2},\ldots,a_1,a_0)$ $(q=p)$，其中 $a_i\in F_q$，$i=0,1,\ldots,m-1$；

1) 置 $r=\lceil \log_2 q/8 \rceil$；

2) 对 i 从 $m-1$ 到 0 执行：

按 7.2.2 的细节把 $a_i(q=p)$转换成长度为 r 的字节串 s_i；

3) $S=s_{m-1}\parallel s_{m-2}\parallel\cdots\parallel s_0$。

7.2.7 字节串到域元素的转换

情形 1：转换为基域中元素

输入：域 F_q，$q=p$，长度为 l 的字节串 S，$l=\lceil \log_2 q/8 \rceil$。

输出：F_q 中的元素 α。

若 $q=p$，则按 7.2.3 的细节将 S 转换为整数 α，若 $\alpha\notin[0,q-1]$，则报错。

情形 2：转换为扩域中元素

输入：域 $F_{q^m}(m\geqslant 2)$，$q=p$，长度为 l 的字节串 S，其中 $l=\lceil \log_2 q/8 \rceil \times m$。

输出：F_{q^m} 中的元素 α。

计算步骤为：

a) 将字节串 S 平均分成 m 段，每段长度为 l/m，记作 $S=(S_{m-1},S_{m-2},\ldots,S_1,S_0)$；

b) 对 i 从 $m-1$ 到 0 执行：

按 7.2.3 的细节将 S_i 转换为整数 a_i，若 $a_i\notin[0,q-1]$，则报错；

c) 若 $q=p$，输出 $\alpha=(a_{m-1},a_{m-2},\ldots,a_1,a_0)$。

7.2.8 点到字节串的转换

点到字节串的转换分为两种情形：一种是在计算过程中，将椭圆曲线点转换为字节串后才能作为某个函数（如杂凑函数）的输入，这种情况下只需直接将点转换为字节串；一种是在传输或存储椭圆曲线点

时，为了减少传输的量或存储空间，可采用点的压缩或混合压缩表示形式，这种情况下需要加入一个字节的识别符 PC 来指示点的表示形式。下面分两种情况说明详细的转换过程。

情形 1：直接转换

输入：椭圆曲线 $E(F_{q^m})(m\geqslant 1)$ 上的点 $P=(x_P,y_P)$，且 $P\neq O$。

输出：长度为 $2l$ 的字节串 $X_1\parallel Y_1$。（当 $m=1$ 时，$l=\lceil \log_2 q/8 \rceil$；当 $m>1$ 时，$l=\lceil \log_2 q/8 \rceil \times m$。）

计算步骤为：

a） 按 7.2.6 中的细节把域元素 x_P 转换成长度为 l 的字节串 X_1；

b） 按 7.2.6 中的细节把域元素 y_P 转换成长度为 l 的字节串 Y_1；

c） 输出字节串 $X_1\parallel Y_1$。

情形 2：添加一字节识别符 *PC* 的转换

输入：椭圆曲线 $E(F_{q^m})(m\geqslant 1)$ 上的点 $P=(x_P,y_P)$，且 $P\neq O$。

输出：字节串 PO。若选用未压缩表示形式或混合表示形式，则输出字节串长度为 $2l+1$；若选用压缩表示形式，则输出字节串长度为 $l+1$。（当 $m=1$ 时，$l=\lceil \log_2 q/8 \rceil$；当 $m>1$ 时，$l=\lceil \log_2 q/8 \rceil \times m$）。

计算步骤为：

a） 按 7.2.6 中的细节把域元素 x_P 转换成长度为 l 的字节串 X_1。

b） 若选用压缩表示形式，则：

1） 计算比特 $\widetilde{y}_P$（参见 B.4）；

2） 若 $\widetilde{y}_P=0$，则令 $PC=02$；若 $\widetilde{y}_P=1$，则令 $PC=03$；

3） 字节串 $PO=PC\parallel X_1$。

c） 若选用未压缩表示形式，则：

1） 按 7.2.6 的细节把域元素 y_P 转换成长度为 l 的字节串 Y_1；

2） 令 $PC=04$；

3） 字节串 $PO=PC\parallel X_1\parallel Y_1$。

d） 若选用混合表示形式，则：

1） 按 7.2.6 的细节把域元素 y_P 转换成长度为 l 的字节串 Y_1；

2） 计算比特 $\widetilde{y}_P$（参见 B.4）；

3） 若 $\widetilde{y}_P=0$，则令 $PC=06$；若 $\widetilde{y}_P=1$，则令 $PC=07$；

4） 字节串 $PO=PC\parallel X_1\parallel Y_1$。

7.2.9 字节串到点的转换

字节串到点的转换是 7.2.8 的逆过程。下面也分两种情况加以说明。

情形 1：直接转换

输入：定义 $F_{q^m}(m\geqslant 1)$ 上椭圆曲线的域元素 a、b，长度为 $2l$ 的字节串 $X_1\parallel Y_1$，X_1、Y_1 的长度均为 l（当 $m=1$ 时，$l=\lceil \log_2 q/8 \rceil$；当 $m>1$ 时，$l=\lceil \log_2 q/8 \rceil \times m$）。

输出：椭圆曲线上的点 $P=(x_P,y_P)$，且 $P\neq O$。

计算步骤为：

a） 按 7.2.7 的细节把字节串 X_1 转换成域元素 x_P；

b） 按 7.2.7 的细节把字节串 Y_1 转换成域元素 y_P。

情形 2：包含一字节识别符 *PC* 的字节串的转换

输入：定义 $F_{q^m}(m\geqslant 1)$ 上椭圆曲线的域元素 a、b，字节串 PO。若选用未压缩表示形式或混合表示形式，则字节串 PO 长度为 $2l+1$；若选用压缩表示形式，则字节串 PO 长度为 $l+1$（当 $m=1$ 时，$l=\lceil \log_2 q/8 \rceil$；当 $m>1$ 时，$l=\lceil \log_2 q/8 \rceil \times m$）。

输出：椭圆曲线上的点 $P=(x_P,y_P)$，且 $P\neq O$。

计算步骤为：

a) 若选用压缩表示形式，则 $PO=PC\parallel X_1$；若选用未压缩表示形式或混合表示形式，则 $PO=PC\parallel X_1\parallel Y_1$，其中 PC 是单一字节，X_1 和 Y_1 都是长度为 l 的字节串。

b) 按 7.2.7 的细节把字节串 X_1 转换成域元素 x_P。

c) 若选用压缩表示形式，则：

1) 检验 $PC=02$ 或者是 $PC=03$，若不是这种情形，则报错；

2) 若 $PC=02$，则令 $\tilde{y}_P=0$；若 $PC=03$，则令 $\tilde{y}_P=1$；

3) 将 $(x_P,\tilde{y}_P)$ 转换为椭圆曲线上的一个点 (x_P,y_P)（参见 B.4）。

d) 若选用未压缩表示形式，则：

1) 检验 $PC=04$，若不是这种情形，则报错；

2) 按 7.2.7 的细节把字节串 Y_1 转换成域元素 y_P。

e) 若选用混合表示形式，则：

1) 检验 $PC=06$ 或者 $PC=07$，若不是这种情形，则报错；

2) 执行以下步骤：

- 按 7.2.7 的细节把字节串 Y_1 转换成域元素 y_P；
- 若 $PC=06$，则令 $\tilde{y}_P=0$，否则令 $\tilde{y}_P=1$；

将 $(x_P,\tilde{y}_P)$ 转换为椭圆曲线上的一个点 (x_P,y_P)（参见 B.4）。

f) 验证 (x_P,y_P) 是否满足曲线方程，若不满足，则报错。

g) $P=(x_P,y_P)$。

8 系统参数及其验证

8.1 系统参数

系统参数包括：

a) 曲线的识别符 cid，用一个字节表示：0x10 表示 F_q（素数 $q>3$）上常曲线，0x11 表示 F_q 上超奇异曲线，0x12 表示 F_q 上常曲线及其扭曲线。

b) 椭圆曲线基域 F_q 的参数：基域参数为大于 3 的素数 q。

c) F_q 中的两个元素 a 和 b，它们定义椭圆曲线 E 的方程：$y^2=x^3+ax+b$；扭曲线参数 β（若 cid 的低 4 位为 2）。

d) 余因子 cf 和素数 N，其中 $cf\times N=\sharp E(F_q)$，$N>2^{191}$ 且 N 不整除 cf，如果 N 小于 2^{360}，建议 $N-1$ 含有大于 2^{190} 的素因子，$N+1$ 含有大于 2^{120} 的素因子。

e) 曲线 $E(F_q)$ 相对于 N 的嵌入次数 k（N 阶循环群 $(G_T,\cdot)\subset F_{q^k}^*$），规定 $q^k>2^{1\,536}$。

f) N 阶循环群 $(G_1,+)$ 的生成元 $P_1=(x_{P_1},y_{P_1})$，$P_1\neq O$。

g) N 阶循环群 $(G_2,+)$ 的生成元 $P_2=(x_{P_2},y_{P_2})$，$P_2\neq O$。

h) 双线性对用一个字节的识别符 eid 表示：0x01 表示 Tate 对，0x02 表示 Weil 对，0x03 表示 Ate 对，0x04 表示 R-ate 对。本部分采用 R-ate 对。

i) （选项）参数 d_1，d_2，其中 d_1，d_2 整除 k。

j) （选项）G_2 到 G_1 的同态映射 ψ，使得 $P_1=\psi(P_2)$。

k) （选项）BN 曲线的基域特征 q，曲线阶 r，Frobenius 映射的迹 tr 可通过参数 t 来确定，t 至少达到 63 比特。

具体参数，见附录 A。

8.2 系统参数的验证

下面的条件应由系统参数的生成者加以验证。这些条件也能由系统参数的用户验证。

输入：系统参数集合。

输出：若所有参数有效，则输出“有效”；否则输出“无效”。

计算步骤为：

a) 验证 q 是大于 3 的素数(参见附录 D 中的 D.1.5)；

b) 验证 a，b 是区间$[0,q-1]$中的整数；

c) 验证在 F_q 上 $4a^3+27b^2\neq 0$；若 cid 的低 4 位为 2，验证 β 是非平方元(参见 D.1.4.3.1)；

d) 验证 N 为大于 2^{191} 的素数且 N 不整除 cf，如果 N 小于 2^{360}，验证 $N-1$ 含有大于 2^{190} 的素因子，$N+1$ 含有大于 2^{120} 的素因子；

e) 验证 $|q+1-cf\times N|<2q^{1/2}$；

f) 验证 $q^k>2^{1\,536}$，且 k 为使 $N|(q^m-1)$ 成立的最小正整数 m；

g) 验证(x_{P_1},y_{P_1})是群 G_1 中的元素；

h) 验证(x_{P_2},y_{P_2})是群 G_2 中的元素；

i) 验证 $e(P_1,P_2)\in F_{q^k}^{*}\backslash\{1\}$，且 $e(P_1,P_2)^N=1$；

j) (选项)验证 d_1，d_2 整除 k；

k) (选项)验证 $P_1=\psi(P_2)$；

l) (选项)验证 t 至少达到 63 比特。

若以上任何一项验证失败，则输出“无效”；否则，输出“有效”。

附 录 A
（规范性附录）
参数定义

A.1 系统参数

本部分使用256位的BN曲线。

椭圆曲线方程：$y^2=x^3+b$。

曲线参数：

参数 t：60000000 0058F98A

迹 $\mathrm{tr}(t)=6t^2+1$：D8000000 019062ED 0000B98B 0CB27659

基域特征 $q(t)=36t^4+36t^3+24t^2+6t+1$：

B6400000 02A3A6F1 D603AB4F F58EC745 21F2934B 1A7AEEDB E56F9B27 E351457D

方程参数 b：05

群的阶 $N(t)=36t^4+36t^3+18t^2+6t+1$：

B6400000 02A3A6F1 D603AB4F F58EC744 49F2934B 18EA8BEE E56EE19C D69ECF25

余因子 cf：1

嵌入次数 k：12

扭曲线的参数 β：$\sqrt{-2}$

k 的因子 $d_1=1$，$d_2=2$

曲线识别符 cid：0x12

群 G_1 的生成元 $P_1=(x_{P_1},y_{P_1})$：

坐标 x_{P_1}：93DE051D 62BF718F F5ED0704 487D01D6 E1E40869 09DC3280 E8C4E481 7C66DDDD

坐标 y_{P_1}：21FE8DDA 4F21E607 63106512 5C395BBC 1C1C00CB FA602435 0C464CD7 0A3EA616

群 G_2 的生成元 $P_2=(x_{P_2},y_{P_2})$：

坐标 x_{P_2}：(85AEF3D0 78640C98 597B6027 B441A01F F1DD2C19 0F5E93C4 54806C11 D8806141，
37227552 92130B08 D2AAB97F D34EC120 EE265948 D19C17AB F9B7213B AF82D65B)

坐标 y_{P_2}：(17509B09 2E845C12 66BA0D26 2CBEE6ED 0736A96F A347C8BD 856DC76B 84EBEB96，
A7CF28D5 19BE3DA6 5F317015 3D278FF2 47EFBA98 A71A0811 6215BBA5 C999A7C7)

双线性对的识别符 eid：0x04

A.2 扩域元素的表示

$F_{q^{12}}$ 的1-2-4-12塔式扩张：

$$(1)F_{q^2}[u]=F_q[u]/(u^2-\alpha),\alpha=-2$$
$$(2)F_{q^4}[v]=F_{q^2}[v]/(v^2-\xi),\xi=u$$
$$(3)F_{q^{12}}[w]=F_{q^4}[w]/(w^3-v),v^2=\xi$$

其中：

第(1)进行二次扩张的约化多项式为：$x^2-\alpha,\alpha=-2$；

第(2)进行二次扩张的约化多项式为：$x^2-u,u^2=\alpha,u=\sqrt{-2}$；

第(3)进行三次扩张的约化多项式为：x^3-v，$v^2=u$，$v=\sqrt{\sqrt{-2}}$；

u 属于 F_{q^2}，表示为(1,0)，左边是第 1 维(高维)，右边是第 0 维(低维)。

v 属于 F_{q^4}，表示为(0,1,0,0)，其中左边(0,1)是 F_{q^4} 中元素以 F_{q^2} 表示的第 1 维(高维)，右边(0,0)是 F_{q^4} 中元素以 F_{q^2} 表示的第 0 维(低维)。

$F_{q^{12}}$ 中元素有三种表示方法：

a)$F_{q^{12}}$ 中元素 A 用 F_{q^4} 中元素表示：

$$A=aw^2+bw+c=(a,b,c)$$

a，b，c 用 F_{q^2} 中元素表示：

$$a=a_1v+a_0=(a_1,a_0)$$
$$b=b_1v+b_0=(b_1,b_0)$$
$$c=c_1v+c_0=(c_1,c_0)$$

其中：$a_1,a_0,b_1,b_0,c_1,c_0\in F_{q2}$。

b)$F_{q^{12}}$ 中元素 A 用 F_{q^2} 中的元素表示：

$$\mathrm{A}=(a_1,a_0,b_1,b_0,c_1,c_0)$$

a_1,a_0,b_1,b_0,c_1,c_0 用基域 F_q 中的元素表示：

$$a_0=a_{0,1}u+a_{0,0}=(a_{0,1},a_{0,0})$$
$$a_1=a_{1,1}u+a_{1,0}=(a_{1,1},a_{1,0})$$
$$b_0=b_{0,1}u+b_{0,0}=(b_{0,1},b_{0,0})$$
$$b_1=b_{1,1}u+b_{1,0}=(b_{1,1},b_{1,0})$$
$$c_0=c_{0,1}u+c_{0,0}=(c_{0,1},c_{0,0})$$
$$c_1=c_{1,1}u+c_{1,0}=(c_{1,1},c_{1,0})$$

其中：$a_{0,1},a_{0,0},a_{1,1},a_{1,0},b_{0,1},b_{0,0},b_{1,1},b_{1,0},c_{0,1},c_{0,0},c_{1,1},c_{1,0}\in F_q$。

c)$F_{q^{12}}$ 中元素 A 用基域 F_q 中的元素表示：

$$\mathrm{A}=(a_{0,1},a_{0,0},a_{1,1},a_{1,0},b_{0,1},b_{0,0},b_{1,1},b_{1,0},c_{0,1},c_{0,0},c_{1,1},c_{1,0})$$

其中：$a_{0,1},a_{0,0},a_{1,1},a_{1,0},b_{0,1},b_{0,0},b_{1,1},b_{1,0},c_{0,1},c_{0,0},c_{1,1},c_{1,0}\in F_q$。

F_{q^2} 中单位元的表示为(0,1)。

F_{q^4} 中单位元的表示为(0,0,0,1)。

$F_{q^{12}}$ 中单位元的表示为(0,0,0,0,0,0,0,0,0,0,0,1)。

各种扩域中分量序为：左边是高维，右边是低维。

示例数据中，扩域中的元素均用基域中的元素表示。

附 录 B
（资料性附录）
关于椭圆曲线的背景知识

B.1 有限域

B.1.1 素域 F_p

设 p 是一个素数，整数模 p 的全体余数的集合$\{0,1,2,\ldots,p-1\}$关于模 p 的加法和乘法构成一个 p 阶素域，用符号 F_p 表示。加法单位元是 0，乘法单位元是 1，F_p 的元素满足如下运算法则：

——加法：设 $a,b\in F_p$，则 $a+b=r$，其中 $r=(a+b) \bmod p$，$r\in[0,p-1]$。

——乘法：设 $a,b\in F_p$，则 $a\cdot b=s$，其中 $s=(a\cdot b) \bmod p$，$s\in[0,p-1]$。

记 F_p^* 是由 F_p 中所有非零元构成的乘法群，由于 F_p^* 是循环群，所以在 F_p 中至少存在一个元素 g，使得 F_p 中任一非零元都可以由 g 的一个方幂表示，称 g 为 F_p^* 的生成元（或本原元），即 $F_p^*=\{g^i \mid 0\leqslant i\leqslant p-2\}$。设 $a=g^i\in F_p^*$，其中 $0\leqslant i\leqslant p-2$，则 a 的乘法逆元为：$a^{-1}=g^{p-1-i}$。

示例：素域 F_{19}，$F_{19}=\{0,1,2,\ldots,18\}$。

F_{19} 中加法的示例：$10,14\in F_{19}$，$10+14=24$，$24 \bmod 19=5$，则 $10+14=5$。

F_{19} 中乘法的示例：$7,8\in F_{19}$，$7\times 8=56$，$56 \bmod 19=18$，则 $7\cdot 8=18$。

13 是 F_{19}^* 的一个生成元，则 F_{19}^* 中元素可由 13 的方幂表示出来：

$13^0=1,13^1=13,13^2=17,13^3=12,13^4=4,13^5=14,13^6=11,13^7=10,13^8=16,13^9=18,$

$13^{10}=6,13^{11}=2,13^{12}=7,13^{13}=15,13^{14}=5,13^{15}=8,13^{16}=9,13^{17}=3,13^{18}=1$。

B.1.2 有限域 F_{q^m}

设 q 是一个素数或素数方幂，$f(x)$ 是多项式环 $F_q[x]$ 上的一个 $m(m>1)$ 次不可约多项式（称为约化多项式或域多项式），商环 $F_q[x]/(f(x))$ 是含 q^m 个元素的有限域（记为 F_{q^m}），称 F_{q^m} 是有限域 F_q 的扩域，域 F_q 为域 F_{q^m} 的子域，m 为扩张次数。F_{q^m} 可以看成 F_q 上的 m 维向量空间，也就是说，在 F_{q^m} 中存在 m 个元素 $\alpha_0,\alpha_1,\ldots,\alpha_{m-1}$，使得 $\forall a\in F_{q^m}$，a 可以唯一表示为：$a=a_{m-1}\alpha_{m-1}+\cdots+a_1\alpha_1+a_0\alpha_0$，其中 $a_i\in F_q$，称$\{\alpha_{m-1},\ldots,\alpha_1,\alpha_0\}$为 F_{q^m} 在 F_q 上的一组基。给定这样一组基，就可以由向量$(a_{m-1},a_{m-2},\ldots,a_1,a_0)$来表示域元素 a。

F_{q^m} 在 F_q 上的基有多种选择：多项式基和正规基等。

不可约多项式 $f(x)$ 可取为首一的多项式 $f(x)=x^m+f_{m-1}x^{m-1}+\cdots+f_2x^2+f_1x+f_0$（其中 $f_i\in F_q$，$i=0,1,\cdots,m-1$），F_{q^m} 中的元素由多项式环 $F_q[x]$ 中所有次数低于 m 的多项式构成，即 $F_{q^m}=\{a_{m-1}x^{m-1}+a_{m-2}x^{m-2}+\cdots+a_1x+a_0 \mid a_i\in F_q,i=0,1,\ldots,m-1\}$。多项式集合$\{x^{m-1},x^{m-2},\cdots,x,1\}$是 F_{q^m} 作为向量空间在 F_q 上的一组基，称为多项式基。当 m 含有因子 $d(1<d<m)$ 时，F_{q^m} 可以由 F_{q^d} 扩张生成，从 $F_{q^d}[x]$ 中选取一个合适的 m/d 次不可约多项式作为 F_{q^m} 在 F_{q^d} 上的约化多项式，F_{q^m} 可以由塔式扩张方法（towering method）得到，这种扩张的基本形式仍是由 F_q 中元素组成的向量。例如当 $m=6$ 时，可以先由 F_q 经过 3 次扩张得扩域 F_{q^3}，再由 F_{q^3} 经过 2 次扩张得到扩域 F_{q^6}；也可以先由 F_q 经过 2 次扩张得扩域 F_{q^2}，再由 F_{q^2} 经过 3 次扩张得到扩域 F_{q^6}。

F_{q^m} 在 F_q 上形如$\{\beta,\beta^q,\beta^{q^2},\ldots,\beta^{q^{m-1}}\}$的一组基称为正规基，其中 $\beta\in F_{q^m}$。$\forall a\in F_{q^m}$，a 可以唯一表示为：$a=a_0\beta+a_1\beta^q+\cdots+a_{m-1}\beta^{q^{m-1}}$，其中 $a_i\in F_q$，$i=0,1,\cdots,m-1$。对于任意有限域 F_q 及其扩域 F_{q^m}，这样的基总是存在的。

如果不作特别说明，F_{q^m} 中元素均采用多项式基表示。

域元素 $a_{m-1}x^{m-1}+a_{m-2}x^{m-2}+\cdots+a_1x+a_0$ 相对于多项式基可以由向量 $(a_{m-1},a_{m-2},\cdots,a_1,a_0)$ 表示，所以 $F_{q^m}=\{(a_{m-1},a_{m-2},\cdots,a_1,a_0)\mid a_i\in F_q,i=0,1,\cdots,m-1\}$。

乘法单位元 1 由(0,…,0,1)表示，零元由(0,…,0,0)表示。域元素的加法和乘法定义如下：

——加法运算：$\forall(a_{m-1},a_{m-2},\cdots,a_1,a_0),(b_{m-1},b_{m-2},\cdots,b_1,b_0)\in F_{q^m}$，则 $(a_{m-1},a_{m-2},\cdots,a_1,a_0)+(b_{m-1},b_{m-2},\cdots,b_1,b_0)=(c_{m-1},c_{m-2},\cdots,c_1,c_0)$，其中 $c_i=a_i+b_i\in F_q,i=0,1,\cdots,m-1$，即加法运算按分量执行域 F_q 的加法运算。

——乘法运算：$\forall(a_{m-1},a_{m-2},\cdots,a_1,a_0),(b_{m-1},b_{m-2},\cdots,b_1,b_0)\in F_{q^m}$，则 $(a_{m-1},a_{m-2},\cdots,a_1,a_0)\cdot(b_{m-1},b_{m-2},\cdots,b_1,b_0)=(r_{m-1},r_{m-2},\cdots,r_1,r_0)$，其中多项式 $(r_{m-1}x^{m-1}+r_{m-2}x^{m-2}+\cdots+r_1x+r_0)$ 是 $(a_{m-1}x^{m-1}+a_{m-2}x^{m-2}+\cdots+a_1x+a_0)\cdot(b_{m-1}x^{m-1}+b_{m-2}x^{m-2}+\cdots+b_1x+b_0)$ 在 $F_q[x]$ 中模 $f(x)$ 的余式。

F_{q^m} 恰包含 q^m 个元素。记 $F_{q^m}^*$ 是由 F_{q^m} 中所有非零元构成的乘法群，$F_{q^m}^*$ 是循环群，在 F_{q^m} 中至少存在一个元素 g，使得 F_{q^m} 中任一非零元都可以由 g 的一个方幂表示，称 g 为 $F_{q^m}^*$ 的生成元(或本原元)，即：$F_{q^m}^*=\{g^i\mid 0\leqslant i\leqslant q^m-2\}$。设 $a=g^i\in F_{q^m}^*$，其中 $0\leqslant i\leqslant q^m-2$，则 a 的乘法逆元为：$a^{-1}=g^{q^m-1-i}$。

示例：F_{3^2} 的多项式基表示

取 F_3 上的一个不可约多项式 $f(x)=x^2+1$，则 F_{3^2} 中的元素是：

(0,0),(0,1),(0,2),(1,0),(1,1),(1,2),(2,0),(2,1),(2,2)

加法：(2,1)+(2,0)=(1,1)

乘法：(2,1)·(2,0)=(2,2)

$$\begin{aligned}(2x+1)\cdot 2x &=4x^2+2x\\ &=x^2+2x\\ &\equiv 2x+2(\mathrm{mod}f(x))\end{aligned}$$

即 $2x+2$ 是 $(2x+1)\cdot 2x$ 除以 $f(x)$ 的余式。

乘法单位元是(0,1)，$\alpha=x+1$ 是 $F_{3^2}^*$ 的一个生成元，则 α 的方幂为：

$\alpha^0=(0,1),\alpha^1=(1,1),\alpha^2=(2,0),\alpha^3=(2,1),\alpha^4=(0,2),\alpha^5=(2,2),\alpha^6=(1,0),\alpha^7=(1,2),\alpha^8=(0,1)$。

B.1.3 有限域上的椭圆曲线

B.1.3.1 概述

有限域上椭圆曲线常用的表示形式有两种：仿射坐标表示和射影坐标表示。

B.1.3.2 仿射坐标表示

设 p 是大于 3 的素数，F_{p^m} 上椭圆曲线方程在仿射坐标系下可以简化为 $y^2=x^3+ax+b$，其中 $a,b\in F_{p^m}$，且使得 $4a^3+27b^2\neq 0$。椭圆曲线上的点集记为 $E(F_{p^m})=\{(x,y)\mid x,y\in F_{p^m}$，且满足曲线方程 $y^2=x^3+ax+b\}\cup\{O\}$，其中 O 是椭圆曲线的无穷远点，又称为零点。

$E(F_{p^m})$ $(m\geqslant 1)$ 上的点按照下面的加法运算规则，构成一个交换群：

a) $O+O=O$；

b) $\forall P=(x,y)\in E(F_{p^m})\backslash\{O\},P+O=O+P=P$；

c) $\forall P=(x,y)\in E(F_{p^m})\backslash\{O\},P$ 的逆元素 $-P=(x,-y),P+(-P)=O$；

d) 点 $P_1=(x_1,y_1)\in E(F_{p^m})\backslash\{O\},P_2=(x_2,y_2)\in E(F_{p^m})\backslash\{O\},P_3=(x_3,y_3)=P_1+P_2\neq O$，则：

$$\begin{cases}x_3=\lambda^2-x_1-x_2,\\ y_3=\lambda(x_1-x_3)-y_1\end{cases}$$

其中：

$$\lambda=\begin{cases}\dfrac{y_2-y_1}{x_2-x_1}, & \text{若 } x_1\neq x_2,\\ \dfrac{3{x_1}^2+a}{2y_1}, & \text{若 } x_1=x_2 \text{ 且 } P_2\neq -P_1\end{cases}$$

示例：有限域 F_{19} 上一条椭圆曲线

F_{19} 上方程：$y^2=x^3+x+1$，其中 $a=1,b=1$。则 F_{19} 上曲线的点为：

(0 ,1),(0,18),(2,7),(2,12),(5,6),(5,13),(7,3),(7,16),(9,6),(9,13),(10,2),(10,17),(13,8),(13,11),(14,2),(14,17),(15,3),(15,16),(16,3),(16,16)

则 $E(F_{19})$ 有 21 个点(包括无穷远点 O)。

a) 取 $P_1=(10,2),P_2=(9,6)$，计算 $P_3=P_1+P_2$：

$\lambda=\dfrac{y_2-y_1}{x_2-x_1}=\dfrac{6-2}{9-10}=\dfrac{4}{-1}=-4\equiv 15(\mathrm{mod}\ 19)$，

$x_3=15^2-10-9=225-10-9\equiv 16-10-9=-3\equiv 16(\mathrm{mod}\ 19)$，

$y_3=15\times(10-16)-2=15\times(-6)-2\equiv 3(\mathrm{mod}\ 19)$，

所以 $P_3=(16,3)$。

b) 取 $P_1=(10,2)$，计算 $[2]P_1$：

$\lambda=\dfrac{3x_1^2+a}{2y_1}=\dfrac{3\times 10^2+1}{2\times 2}=\dfrac{3\times 5+1}{4}=\dfrac{16}{4}=4(\mathrm{mod}\ 19)$，

$x_3=4^2-10-10=-4\equiv 15(\mathrm{mod}\ 19)$，

$y_3=4\times(10-15)-2=-22\equiv 16(\mathrm{mod}\ 19)$，

所以 $[2]P_1=(15,16)$。

B.1.3.3 射影坐标表示

设 p 是大于 3 的素数，F_{p^m} 上椭圆曲线方程在标准射影坐标系下可以简化为 $y^2z=x^3+axz^2+bz^3$，其中 $a,b\in F_{p^m}$，且 $4a^3+27b^2\neq 0$。椭圆曲线上的点集记为 $E(F_{p^m})=\{(x,y,z)\mid x,y,z\in F_{p^m}$ 且满足曲线方程 $y^2z=x^3+axz^2+bz^3\}$。对于 (x_1,y_1,z_1) 和 (x_2,y_2,z_2)，若存在某个 $u\in F_{p^m}$ 且 $u\neq 0$，使得：$x_1=ux_2,y_1=uy_2,z_1=uz_2$，则称这两个三元组等价，表示同一个点。

若 $z\neq 0$，记 $X=x/z,Y=y/z$，则可从标准射影坐标表示转化为仿射坐标表示：$Y^2=X^3+aX+b$；

若 $z=0$，(0,1,0)对应的仿射坐标系下的点即无穷远点 O。

标准射影坐标系下，$E(F_{p^m})$ 上点的加法运算定义如下：

a) $O+O=O$；

b) $\forall P=(x,y,z)\in E(F_{p^m})\backslash\{O\}$，$P+O=O+P=P$；

c) $\forall P=(x,y,z)\in E(F_{p^m})\backslash\{O\}$，$P$ 的逆元素 $-P=(ux,-uy,uz)$，$u\in F_{p^m}$ 且 $u\neq 0$，$P+(-P)=O$；

d) 设点 $P_1=(x_1,y_1,z_1)\in E(F_{p^m})\backslash\{O\}$，$P_2=(x_2,y_2,z_2)\in E(F_{p^m})\backslash\{O\}$，$P_3=P_1+P_2=(x_3,y_3,z_3)\neq O$，

若 $P_1\neq P_2$，则：

$\lambda_1=x_1z_2,\lambda_2=x_2z_1,\lambda_3=\lambda_1-\lambda_2,\lambda_4=y_1z_2,\lambda_5=y_2z_1,\lambda_6=\lambda_4-\lambda_5,\lambda_7=\lambda_1+\lambda_2,\lambda_8=z_1z_2$，

$\lambda_9=\lambda_3^2,\lambda_{10}=\lambda_3\lambda_9,\lambda_{11}=\lambda_8\lambda_6^2-\lambda_7\lambda_9,x_3=\lambda_3\lambda_{11},y_3=\lambda_6(\lambda_9\lambda_1-\lambda_{11})-\lambda_4\lambda_{10},z_3=\lambda_{10}\lambda_8$；

若 $P_1=P_2$，则：

$\lambda_1=3x_1^2+az_1^2,\lambda_2=2y_1z_1,\lambda_3=y_1^2,\lambda_4=\lambda_3x_1z_1,\lambda_5=\lambda_2^2,\lambda_6=\lambda_1^2-8\lambda_4$，

$x_3=\lambda_2\lambda_6,y_3=\lambda_1(4\lambda_4-\lambda_6)-2\lambda_5\lambda_3,z_3=\lambda_2\lambda_5$。

B.1.3.4 Jacobian 加重射影坐标系

设 p 是大于 3 的素数，F_{p^m} 上椭圆曲线方程在 Jacobian 加重射影坐标系下可以简化为 $y^2=x^3+axz^4+bz^6$。其中 $a,b\in F_{p^m}$，且 $4a^3+27b^2\neq 0$。椭圆曲线上的点集记为 $E(F_{p^m})=\{(x,y,z)\mid x,y,z\in F_{p^m}$ 且满足曲线方程 $y^2=x^3+axz^4+bz^6\}$。对于 (x_1,y_1,z_1) 和 (x_2,y_2,z_2)，若存在某个 $u\in F_{p^m}$ 且 $u\neq 0$，使得：$x_1=u^2x_2$，$y_1=u^3y_2$，$z_1=uz_2$，则称这两个三元组等价，表示同一个点。

若 $z\neq 0$，记 $X=x/z^2$，$Y=y/z^3$，则可从 Jacobian 加重射影坐标表示转化为仿射坐标表示：$Y^2=X^3+aX+b$。

若 $z=0$，(1,1,0)对应的仿射坐标系下的点即无穷远点 O。

Jacobian 加重射影坐标系下，$E(F_{p^m})$ 上点的加法运算定义如下：

a) $O+O=O$；

b) $\forall P=(x,y,z)\in E(F_{p^m})\backslash\{O\}$，$P+O=O+P=P$；

c) $\forall P=(x,y,z)\in E(F_{p^m})\backslash\{O\}$，$P$ 的逆元素 $-P=(u^2x,-u^3y,uz)$，$u\in F_{p^m}$ 且 $u\neq 0$，$P+(-P)=O$；

d) 设点 $P_1=(x_1,y_1,z_1)\in E(F_{p^m})\backslash\{O\}$，$P_2=(x_2,y_2,z_2)\in E(F_{p^m})\backslash\{O\}$，$P_3=P_1+P_2=(x_3,y_3,z_3)\neq O$，

若 $P_1\neq P_2$，则：

$\lambda_1=x_1z_2^2$，$\lambda_2=x_2z_1^2$，$\lambda_3=\lambda_1-\lambda_2$，$\lambda_4=y_1z_2^3$，$\lambda_5=y_2z_1^3$，$\lambda_6=\lambda_4-\lambda_5$，$\lambda_7=\lambda_1+\lambda_2$，

$\lambda_8=\lambda_4+\lambda_5$，$\lambda_9=\lambda_7\lambda_3^2$，$x_3=\lambda_6^2-\lambda_9$，$\lambda_{10}=\lambda_9^2-2x_3$，$y_3=(\lambda_{10}\lambda_6-\lambda_8\lambda_3^3)/2$，$z_3=z_1z_2\lambda_3$；

若 $P_1=P_2$，则：

$\lambda_1=3x_1^2+az_1^4$，$\lambda_2=4x_1y_1^2$，$\lambda_3=8y_1^4$，$x_3=\lambda_1^2-2\lambda_2$，$y_3=\lambda_1(\lambda_2-x_3)-\lambda_3$，$z_3=2y_1z_1$。

B.1.4 有限域上椭圆曲线的阶

有限域 F_{q^m} 上一条椭圆曲线的阶是指点集 $E(F_{q^m})$ 中元素的个数，记为 $\sharp E(F_{q^m})$。由 Hasse 定理知：$q^m+1-2q^{m/2}\leqslant\sharp E(F_{qm})\leqslant q^m+1+2q^{m/2}$，即 $\sharp E(F_{q^m})=q^m+1-t$，其中 t 称为 Frobenius 迹且 $|t|\leqslant 2q^{m/2}$。

若 F_{q^m} 的特征整除 Frobenius 迹 t，则称此曲线为超奇异的，否则为非超奇异的。

设 $E(F_{q^m})$ 是 F_{q^m} 上的椭圆曲线，r 是与 q^m 互素的整数，则 $E(F_{q^m})$ 的 r 阶扭子群 $E(F_{q^m})[r]=\{P\in E(F_{q^m})\mid [r]P=O\}$，$E(F_{q^m})[r]$ 中的点称为 r-扭点。

B.2 椭圆曲线多倍点运算

椭圆曲线上同一个点的重复相加称为该点的多倍点运算。设 u 是一个正整数，P 是椭圆曲线上的点，其 u 倍点 $Q=[u]P=\underbrace{P+P+\cdots+P}_{u个}$。

多倍点运算可以扩展到 0 倍点运算和负数倍点运算：$[0]P=O$，$[-u]P=[u](-P)$。

椭圆曲线多倍点运算的实现有多种方法，这里只介绍最基本的三种方法，以下都假设 $1\leqslant u<N$。

算法一：二进制展开法

输入：点 P，l 比特的整数 $u=\sum_{j=0}^{l-1}u_j2^j$，$u_j\in\{0,1\}$。

输出：$Q=[u]P$。

a) 置 $Q=O$。

b) 对 j 从 $l-1$ 降至 0 执行：

1） $Q=[2]Q$；

2） 若 $u_j=1$，则 $Q=Q+P$。

c） 输出 Q。

算法二：加减法

输入：点 P，l 比特的整数 $u=\sum_{j=0}^{l-1}u_j2^j$，$u_j\in\{0,1\}$。

输出：$Q=[u]P$。

a） 设 $3u$ 的二进制表示是 $h_rh_{r-1}\cdots h_1h_0$，其中最高位 h_r 为 1，显然 $r=l$ 或 $l+1$。

b） 设 u 的二进制表示是 $u_ru_{r-1}\cdots u_1u_0$。

c） 置 $Q=P$。

d） 对 i 从 $r-1$ 降至 1 执行：

1） $Q=[2]Q$；

2） 若 $h_i=1$，且 $u_i=0$，则 $Q=Q+P$；

3） 若 $h_i=0$，且 $u_i=1$，则 $Q=Q-P$。

e） 输出 Q。

注：减去点(x,y)，只要加上$(x,-y)$。有多种不同的变种可以加速这一运算。

算法三：滑动窗法

输入：点 P，l 比特的整数 $u=\sum_{j=0}^{l-1}u_j2^j$，$u_j\in\{0,1\}$。

输出：$Q=[u]P$。

设窗口长度 $r>1$。

预计算

a） $P_1=P$，$P_2=[2]P$。

b） i 从 $1\sim(2^{r-1}-1)$ 计算 $P_{2i+1}=P_{2i-1}+P_2$。

c） 置 $j=l-1$，$Q=O$。

主循环

d） 当 $j\geqslant0$ 执行：

1） 若 $u_j=0$，则 $Q=[2]Q$，$j=j-1$；

2） 否则：

- 令 t 是使 $j-t+1\leqslant r$ 且 $u_t=1$ 的最小整数；
- $h_j=\sum_{i=0}^{j-t}u_{t+i}2^i$；
- $Q=[2^{j-t+1}]Q+P_{h_j}$；
- 置 $j=t-1$。

e） 输出 Q。

B.3 离散对数问题

B.3.1 求解有限域上离散对数问题的方法

有限域 F_q 的全体非零元素构成一个乘法循环群，记为 F_{q^*}。F_{q^*} 中存在一个元素 g，g 称为生成元，使得 $F_{q^*}=\{g^i\mid0\leqslant i\leqslant q-2\}$。$a\in F_q$ 的阶是满足 $a^t=1$ 的最小正整数 t。循环群 F_{q^*} 的阶为 $q-1$，因此 $t\mid q-1$。

设乘法循环群 F_{q^*} 的生成元为 g，$y\in F_{q^*}$，有限域上离散对数问题是指确定整数 $x\in[0,q-2]$，使

得 $y=g^x \bmod q$ 成立。

有限域上离散对数问题现有攻击方法有：

a) Pohlig-Hellman 方法：设 l 是 $q-1$ 的最大素因子，则时间复杂度为 $O(l^{1/2})$；

b) BSGS 方法：时间复杂度与空间复杂度均为 $(\pi q/2)^{1/2}$；

c) Pollard 方法：时间复杂度为 $(\pi q/2)^{1/2}$；

d) 并行 Pollard 方法：设 s 为并行处理器个数，时间复杂度为 $(\pi q/2)^{1/2}/s$；

e) 线性筛法(对素域 F_q)：时间复杂度为 $\exp((1+o(1))(\log q)^{1/2}(\log\log q)^{1/2})$；

f) Gauss 整数法(对素域 F_q)：时间复杂度为 $\exp((1+o(1))(\log q)^{1/2}(\log\log q)^{1/2})$；

g) 剩余列举筛法(对素域 F_q)：时间复杂度为 $\exp((1+o(1))(\log q)^{1/2}(\log\log q)^{1/2})$；

h) 数域筛法(对素域 F_q)：时间复杂度为 $\exp(((64/9)^{1/3}+o(1))(\log q(\log\log q)^2)^{1/3})$；

i) 函数域筛法(对小特征域)：时间复杂度为 $\exp(c(\log q(\log\log q)^2)^{1/4+o(1)})$ 和拟多项式时间。

从以上列举的求解离散对数问题的方法及其时间复杂度可知：对于一般的大特征域上的离散对数问题，存在亚指数级计算复杂度的攻击方法，对小特征域上的离散对数问题，目前已经有拟多项式时间的攻击方法。

B.3.2 求解椭圆曲线离散对数问题的方法

已知椭圆曲线 $E(F_q)$，阶为 n 的点 $P\in E(F_q)$ 及 $Q\in<P>$，椭圆曲线离散对数问题是指确定整数 $u\in[0,n-1]$，使得 $Q=[u]P$ 成立。

ECDLP 现有攻击方法有：

a) Pohlig-Hellman 方法：设 l 是 n 的最大素因子，则时间复杂度为 $O(l^{1/2})$；

b) BSGS 方法：时间复杂度与空间复杂度均为 $(\pi n/2)^{1/2}$；

c) Pollard 方法：时间复杂度为 $(\pi n/2)^{1/2}$；

d) 并行 Pollard 方法：设 r 为并行处理器个数，时间复杂度为 $(\pi n/2)^{1/2}/r$；

e) MOV-方法：把超奇异椭圆曲线及具有相似性质的曲线的 *ECDLP* 降到 F_q 的小扩域上的离散对数问题(亚指数级计算复杂度算法)；

f) Anomalous 方法：对 Anomalous 曲线($\sharp E(F_q)=q$ 的曲线)的有效攻击方法(多项式级计算复杂度算法)；

g) GHS-方法：利用 Weil 下降技术求解扩张次数为合数的二元扩域上椭圆曲线离散对数问题，将 *ECDLP* 转化为超椭圆曲线离散对数问题，而求解高亏格的超椭圆曲线离散对数存在亚指数级计算复杂度算法；

h) DGS-点分解方法：对低次扩域上的椭圆曲线离散对数利用的指标计算方法，在某些特殊情况下，其求解复杂度低于平方根时间复杂度。

从上述对椭圆曲线离散对数问题解法的描述与分析可知：对于一般曲线的离散对数问题，目前的求解方法都为指数级计算复杂度，未发现亚指数级计算复杂度的一般攻击方法；而对于某些特殊曲线的离散对数问题，存在多项式级或者亚指数级计算复杂度算法。

B.4 点的压缩

B.4.1 概述

对于椭圆曲线 $E(F_q)$ 上的任意非无穷远点 $P=(x_P,y_P)$，该点能由坐标 x_P 及由 x_P 和 y_P 导出的一个特定比特简洁地表示，称为点的压缩表示。

B.4.2 F_p上椭圆曲线点的压缩与解压缩方法

设 $P=(x_P,y_P)$是定义在 F_p上椭圆曲线 $E:y^2=x^3+ax+b$ 上的一个点，$\tilde{y}_P$ 为 y_P的最右边的一个比特，则点 P 可由 x_P和比特 $\tilde{y}_P$ 表示。

由 x_P和 $\tilde{y}_P$ 恢复 y_P的方法如下：

a) 在 F_p上计算域元素 $\alpha=x_P{}^3+ax_P+b$；

b) 计算 α 在 F_p上的平方根 β(参见 D.1.4)，若输出是“不存在平方根”，则报错；

c) 若 β 的最右边比特等于 $\tilde{y}_P$，则置 $y_P=\beta$；否则置 $y_P=p-\beta$。

B.4.3 F_{q^m}(q 为奇素数，$m\geqslant 2$)上椭圆曲线点的压缩与解压缩方法

设 $P=(x_P,y_P)$是定义在 F_{q^m}上椭圆曲线 $E:y^2=x^3+ax+b$ 上的一个点，则 y_P可表示为(y_{m-1}，y_{m-2}，…，y_1，y_0)，$\tilde{y}_P$ 为 y_0 的最右边的一个比特，则点 P 可由 x_P和比特 $\tilde{y}_P$ 表示。

由 x_P和 $\tilde{y}_P$ 恢复 y_P的方法如下：

a) 在 F_{q^m}上计算域元素 $\alpha=x_P{}^3+ax_P+b$；

b) 计算 α 在 F_{q^m}上的平方根 β(参见 D.1.4)，若输出是“不存在平方根”，则报错。

若 β 的表示(β_{m-1}，β_{m-2}，…，β_1，β_0)中 β_0 的最右边比特等于 $\tilde{y}_P$，则置 $y_P=\beta$；否则置 $y_P=(\beta'_{m-1}$，β'_{m-2}，…，β'_1，β'_0)，其中 $\beta'_i=(q-\beta_i)\in F_q$，$i=0,1,\cdots,m-1$。

附 录 C
（资料性附录）
椭圆曲线上双线性对的计算

C.1 概述

设有限域 F_q 上椭圆曲线为 $E(F_q)$，若 $\sharp E(F_q)=cf\times r$，r 是素数且 $\gcd(r,\ q)=1$，cf 为余因子，则使 $r|q^k-1$ 的最小正整数 k 称为椭圆曲线相对于 r 的嵌入次数。若 G 是 $E(F_q)$ 的 r 阶子群，则 G 的嵌入次数也是 k。

设 $\overline{F}_q$ 是有限域 F_q 的代数闭包，$E[r]$ 表示 $E(\overline{F}_q)$ 中所有 r 阶点的集合。

C.2 Miller 算法

设 F_{q^k} 上椭圆曲线 $E(F_{q^k})$ 的方程为 $y^2=x^3+ax+b$，定义过 $E(F_{q^k})$ 上点 U 和 V 的直线为 $g_{U,V}$：$E(F_{q^k})\to F_{q^k}$，若过 U，V 两点的直线方程为 $\lambda x+\delta y+\tau=0$，则令函数 $g_{U,V}(Q)=\lambda x_Q+\delta y_Q+\tau$，其中 $Q=(x_Q,y_Q)$。当 $U=V$ 时，$g_{U,V}$ 定义为过点 U 的切线；若 U 和 V 中有一个点为无穷远点 O，$g_{U,V}$ 就是过另一个点且垂直于 x 轴的直线。一般用 g_U 作为 $g_{U,-U}$ 的简写。

记 $U=(x_U,y_U)$，$V=(x_V,\ y_V)$，$Q=(x_Q,\ y_Q)$，$\lambda_1=(3x_V{}^2+a)/(2y_V)$，$\lambda_2=(y_U-\ y_V)/(x_U-x_V)$，则有以下性质：

a) $g_{U,V}(O)=g_{U,O}(Q)=g_{O,V}(Q)=1$；

b) $g_{V,V}(Q)=\lambda_1(x_Q-x_V)-y_Q+y_V$，$Q\neq O$；

c) $g_{U,V}(Q)=\lambda_2(x_Q-x_V)-y_Q+y_V$，$Q\neq O$，$U\neq\pm V$；

d) $g_{V,-V}(Q)=x_Q-x_V$，$Q\neq O$。

Miller 算法是计算双线性对的有效算法。

输入：曲线 E，E 上两点 P 和 Q，整数 c。

输出：$f_{P,c}(Q)$。

a) 设 c 的二进制表示是 $c_j\cdots c_1c_0$，其最高位 c_j 为 1。

b) 置 $f=1$，$V=P$。

c) 对 i 从 $j-1$ 降至 0，执行：

1) 计算 $f=f^2\cdot g_{V,V}(Q)/g_{2V}(Q)$，$V=[2]V$；

2) 若 $c_i=1$，令 $f=f\cdot g_{V,P}(Q)/g_{V+P}(Q)$，$V=V+P$。

d) 输出 f。

一般，称 $f_{P,c}(Q)$ 为 Miller 函数。

C.3 Weil 对的计算

设 E 是 F_q 上的椭圆曲线，r 是与 q 互素的正整数，设 μ_r 是 r 次单位根集合，k 是相对于 r 的嵌入次数，即 $r\mid q^k-1$，则 $\mu_r\subset F_{q^k}$。

令 $G_1=E[r]$，$G_2=E[r]$，$G_T=\mu_r$，则 Weil 对是从 $G_1\times G_2$ 到 G_T 的双线性映射，记为 e_r。

设 $P\in G_1$，$Q\in G_2$，若 $P=O$ 或 $Q=O$，则 $e_r(P,Q)=1$；如果 $P\neq O$ 且 $Q\neq O$，随机选取非无穷远点 $T\in G_1$，$U\in G_2$，使得 $P+T$ 和 T 均不等于 U 或 $U+Q$，则 Weil 对为：

$$e_r(P,Q)=\frac{f_{P+T,r}(Q+U)f_{T,r}(U)f_{U,r}(P+T)f_{Q+U,r}(T)}{f_{T,r}(Q+U)f_{P+T,r}(U)f_{Q+U,r}(P+T)f_{U,r}(T)}$$

$f_{P+T,r}(Q+U)$，$f_{T,r}(Q+U)$，$f_{P+T,r}(U)$，$f_{T,r}(U)$，$f_{Q+U,r}(P+T)$，$f_{Q+U,r}(T)$，$f_{U,r}(P+T)$和$f_{U,r}(T)$均可用 Miller 算法计算。在计算过程中，若出现分母为 0 的情况，则更换点 T 或 U 重新计算。

C.4 Tate 对的计算

设 E 是 F_q 上的椭圆曲线，r 是与 q 互素的正整数，k 是相对于 r 的嵌入次数。设 Q 是 $E(F_{q^k})[r]$ 上的 r 阶点，由 Q 生成的循环群记为$<Q>$。$(F_{q^k}^*)^r$为 $F_{q^k}^*$ 中每一个元素的 r 次幂构成的集合，$(F_{q^k}^*)^r$是 $F_{q^k}^*$ 的子群，$F_{q^k}^*$ 关于$(F_{q^k}^*)^r$的商群记为 $F_{q^k}^*/(F_{q^k}^*)^r$。

令 $G_1=E(F_q)[r]$，$G_2=<Q>$，$G_T=F_{q^k}^*/(F_{q^k}^*)^r$，则 Tate 对是从 $G_1\times G_2$ 到 G_T 的双线性映射，记为 t_r。

设 $P\in G_1$，$Q\in G_2$，若 $P=O$ 或 $Q=O$，则 $t_r=1$；若 $P\neq O$ 且 $Q\neq O$，随机选择非无穷远点 $U\in E(F_{q^k})$，使得 $P\neq U$，$P\neq Q+U$，$U\neq -Q$，则 Tate 对为：

$$t_r(P,Q)=\frac{f_{P,r}(Q+U)}{f_{P,r}(U)}$$

$f_{P,r}(Q+U)$和 $f_{P,r}(U)$可通过 Miller 算法计算。在计算过程中，若出现分母为 0 的情况，则更换点 U 重新计算。

在实际应用中，一般使用约化 Tate 对：

$$t_r(P,Q)=\begin{cases}f_{P,r}(Q)^{(q^k-1)/r}, & Q\neq O,\\ 1, & Q=O\end{cases}$$

约化 Tate 对比一般 Tate 对的计算量减少了一半。若相对于 r 的嵌入次数 k 是偶数时，约化 Tate 对的计算方法可以进一步优化。算法 1 描述的是一般约化 Tate 对的计算方法，算法 2、3、4 均指 $k=2d$ 的情况。

算法 1

输入：与 q 互素的整数 r，$P\in E(F_q)[r]$，$Q\in E(F_{q^k})[r]$。

输出：$t_r(P,Q)$。

a) 设 r 的二进制表示是 $r_j\cdots r_1r_0$，其最高位 r_j 为 1。

b) 置 $f=1$，$V=P$。

c) 对 $i=j-1$ 降至 0，执行：

1) 计算 $f=f^2\cdot g_{V,V}(Q)/g_{2V}(Q)$，$V=[2]V$；

2) 若 $r_i=1$，则计算 $f=f\cdot g_{V,P}(Q)/g_{V+P}(Q)$，$V=V+P$。

d) 计算 $f=f^{(q^k-1)/r}$。

e) 输出 f。

算法 2

输入：与 q 互素的整数 r，$P\in E(F_q)[r]$，$Q\in E(F_{q^k})[r]$。

输出：$t_r(P,Q)$。

a) 设 r 的二进制表示是 $r_j\cdots r_1r_0$，其最高位 r_j 为 1。

b) 置 $f=1$，$V=P$。

c) 对 $i=j-1$ 降至 0，执行：

1) 计算 $f=f^2\cdot g_{V,V}(Q)/g_{2V}(Q)$，$V=[2]V$；

2) 若 $r_i=1$，则计算 $f=f\cdot g_{V,P}(Q)/g_{V+P}(Q)$，$V=V+P$。

d) 计算 $f=f^{q^d-1}$。

e) 计算 $f=f^{(q^d+1)/r}$。

f) 输出 f。

算法 3

如果将 $F_{q^k}(k=2d)$看成 F_{q^d}的二次扩域，则 F_{q^k}上元素可表示成 $w=w_0+iw_1$的形式，其中 w_0，$w_1\in F_{q^d}$，则 w 的共轭 $\overline{w}=w_0-iw_1$，此时算法 1 中的求逆运算可用共轭代替。

输入：与 q 互素的整数 r，$P\in E(F_q)[r]$，$Q\in E(F_{q^k})[r]$。

输出：$t_r(P,Q)$。

a) 设 r 的二进制表示是 $r_j\cdots r_1r_0$，其最高位 r_j 为 1。

b) 置 $f=1$，$V=P$。

c) 对 i 从 $j-1$ 降至 0，执行：

1) 计算 $f=f^2\cdot g_{V,V}(Q)\cdot\overline{g}_{2V}(Q)$，$V=[2]V$；

2) 若 $r_i=1$，令 $f=f\cdot g_{V,P}(Q)\cdot\overline{g}_{V+P}(Q)$，$V=V+P$。

d) 计算 $f=f^{q^d-1}$。

e) 计算 $f=f^{(q^d+1)/r}$。

f) 输出 f。

算法 4

当 q 为大于 3 的素数时，点 $Q\in E'$，E'是 E 的扭曲线，此时算法可进一步优化。

输入：$P\in E(F_q)[r]$，$Q\in E'(F_{q^d})[r]$，整数 r。

输出：$t_r(P,Q)$。

a) 设 r 的二进制表示是 $r_j\cdots r_1r_0$，其最高位 r_j 为 1。

b) 置 $f=1$，$V=P$。

c) 对 i 从 $j-1$ 降至 0，执行：

1) 计算 $f=f^2\cdot g_{V,V}(Q)$，$V=[2]V$；

2) 若 $r_i=1$，则计算 $f=f\cdot g_{V,P}(Q)$，$V=V+P$。

d) 计算 $f=f^{q^d-1}$。

e) 计算 $f=f^{(q^d+1)/r}$。

f) 输出 f。

C.5 Ate 对的计算

C.5.1 概述

设 π_q为 Frobenius 自同态，即 $\pi_q:E\to E,(x,y)\mapsto(x^q,y^q)$；$[q]$为映射：$E\to E,Q\mapsto[q]Q$；$[1]$为单位映射；$\pi_q$的对偶为 $\pi_q{}'$，满足 $\pi_q\cdot\pi_q{}'=[q]$；Ker( )表示映射的核；设椭圆曲线 $E(F_q)$的 Frobenius 迹为 t，令 $T=t-1$。

下面给出不同结构下的 Ate 对的计算方法。

C.5.2 定义在 $G_2\times G_1$ 上 Ate 对的计算

设 $G_1=E[r]\cap\mathrm{Ker}(\pi_q-[1])$，$G_2=E[r]\cap\mathrm{Ker}(\pi_q-[q])$，$P\in G_1$，$Q\in G_2$。定义 $G_2\times G_1$上 Ate 对：

$$\mathrm{Ate}:G_2\times G_1\to F_{q^k}^*/(F_{q^k}^*)^r$$
$$(Q,P)\mapsto f_{Q,T}(P)^{(q^k-1)/r}$$

下面给出 $G_2\times G_1$ 上 Ate 对的计算方法：

输入：$G_1=E[r]\cap\mathrm{Ker}(\pi_q-[1])$，$G_2=E[r]\cap\mathrm{Ker}(\pi_q-[q])$，$P\in G_1$，$Q\in G_2$，整数 $T=t-1$。

输出：$\mathrm{Ate}(Q,P)$。

a) 设 T 的二进制表示是 $t_j\cdots t_1t_0$，其最高位 t_j 为 1。

b) 置 $f=1$，$V=Q$。

c) 对 i 从 $j-1$ 降至 0，执行：

1) 计算 $f=f^2\cdot g_{V,V}(P)$，$V=[2]V$；

2) 若 $t_i=1$，计算 $f=f\cdot g_{V,Q}(P)/g_{V+Q}(P)$，$V=V+Q$。

d) 计算 $f=f^{(q^k-1)/r}$。

e) 输出 f。

C.5.3 定义在 $G_1\times G_2$ 上 Ate 对的计算

对于超奇异椭圆曲线来说，以上 Ate 对的定义与技术可以直接应用；而对于常曲线来说，需要把 G_2 转换到扭曲线上才可以定义 Ate 对。

超奇异椭圆曲线上 Ate 对：

设 E 为定义在 F_q 上的超奇异椭圆曲线，$G_1=E[r]\cap\mathrm{Ker}(\pi_q'-[q])$，$G_2=E[r]\cap\mathrm{Ker}(\pi_q'-[1])$，$G_T=F_{q^k}^*/(F_{q^k}^*)^r$，$P\in G_1$，$Q\in G_2$。定义 $G_1\times G_2$ 上的 Ate 对：

$$\mathrm{Ate}:G_1\times G_2\to F_{q^k}^*/(F_{q^k}^*)^r$$

$$(P,Q)\mapsto f_{P,T}(Q)^{(q^k-1)/r}$$

下面给出 $G_1\times G_2$ 上 Ate 对的计算方法：

输入：$G_1=E[r]\cap\mathrm{Ker}(\pi_q'-[q])$，$G_2=E[r]\cap\mathrm{Ker}(\pi_q'-[1])$，$P\in G_1$，$Q\in G_2$，整数 $T=t-1$。

输出：$\mathrm{Ate}(P,Q)$。

a) 设 T 的二进制表示是 $t_j\cdots t_1t_0$，其最高位 t_j 为 1。

b) 置 $f=1$，$V=P$。

c) 对 i 从 $j-1$ 降至 0，执行：

1) 计算 $f=f^2\cdot g_{V,V}(Q)$，$V=[2]V$；

2) 若 $t_i=1$，计算 $f=f\cdot g_{V,P}(Q)/g_{V+P}(Q)$，$V=V+P$。

d) 计算 $f=f^{(q^k-1)/r}$。

e) 输出 f。

常曲线上的 Ate 对：

对于常曲线来说，存在一个整数 e，使得 $(\pi_q')^e$ 成为 G_1 上的自同构，这样可以用扭曲线理论在 $\mathrm{Ate}(P,Q)$ 和 $f_{P,Te}(Q)$ 之间建立起联系，其中 $T=t-1$，t 为迹。

设 E 是定义在 F_q 上的椭圆曲线，E' 为 E 的 d 次扭曲线。k 为嵌入次数，$m=\gcd(k,d)$，$e=k/m$，ζ_m 是 m 次本原单位根，当 $p\geqslant 5$ 时，d 的取值有三种情况：

a) $d=6$，$\beta=\zeta_m^{-6}$，$E':y^2=x^3+\beta b$，$\phi_6:E'\to E:(x,y)\mapsto(\beta^{-1/3}x,\beta^{-1/2}y)$，$G_1=E[r]\cap\mathrm{Ker}(\pi_q-[1])$，$G_2=E'[r]\cap\mathrm{Ker}([\beta^{-1/6}]\pi_q^e-[1])$；

b) $d=4$，$\beta=\zeta_m^{-4}$，$E':y^2=x^3+\beta ax$，$\phi_4:E'\to E:(x,y)\mapsto(\beta^{-1/2}x,\beta^{-3/4}y)$，$G_1=E[r]\cap\mathrm{Ker}(\pi_q-[1])$，$G_2=E'[r]\cap\mathrm{Ker}([\beta^{-1/4}]\pi_q^e-[1])$；

c) $d=2$，$\beta=\zeta_m^{-2}$，$E':y^2=x^3+\beta^2ax+\beta^3b$，$\phi_2:E'\to E:(x,y)\mapsto(\beta^{-1}x,\beta^{-3/2}y)$，$G_1=E[r]\cap\mathrm{Ker}(\pi_q-[1])$，$G_2=E'[r]\cap\mathrm{Ker}([\beta^{-1/2}]\pi_{q^e}-[1])$。

设 $P\in G_1$，$Q\in G_2$。定义 $G_1\times G_2$ 上 Ate 对：

$$\mathrm{Ate}:G_1\times G_2\to F_{q^k}^*/(F_{q^k}^*)^r$$

$$(P,Q)\mapsto f_{P,T^e}(Q)^{(q^k-1)/r}$$

下面给出具体算法描述：

输入：G_1，G_2，$P\in G_1$，$Q\in G_2$，整数 $T=t-1$。

输出：Ate(P，Q)。

a) 计算 $u=T^e$。

b) 设 u 的二进制表示是 $t_j\cdots t_1t_0$，其最高位 t_j 为 1。

c) 置 $f=1$，$V=P$。

d) 对 i 从 $j-1$ 降至 0，执行：

1) 计算 $f=f^2\cdot g_{V,V}(Q)$，$V=[2]V$；

2) 若 $t_i=1$，计算 $f=f\cdot g_{V,P}(Q)/g_{V+P}(Q)$，$V=V+P$。

e) 计算 $f=f^{(q^k-1)/r}$。

f) 输出 f。

如果定义在 $G_1\times G_2$ 上的 Ate 对所基于的椭圆曲线是超奇异的，则容易看出它比 Tate 对有更高的效率。但对于常曲线来说，只有当 $|T^e|\leqslant r$ 时它的运算效率才会比 Tate 对高，所以只有在 t 值较小时才推荐使用 Ate 对。

C.6 R-ate 对的计算

C.6.1 R-ate 对的定义

R-ate 对中的“R”可视为两个对的比值，也可以看成是 Tate 对的某固定幂次。

令 A，B，a，$b\in Z$，$A=aB+b$。Miller 函数 $f_{Q,A}(P)$ 有如下性质：

$$f_{Q,A}(P)=f_{Q,aB+b}(P)=f_{Q,aB}(P)\cdot f_{Q,b}(P)\cdot g_{[aB]Q,[b]Q}(P)/g_{[A]Q}(P)$$

$$=f_{Q,B}^{a}(P)\cdot f_{[B]Q,a}(P)\cdot f_{Q,b}(P)\cdot\frac{g_{[aB]Q,[b]Q}(P)}{g_{[A]Q}(P)}$$

定义 R-ate 对为

$$R_{A,B}(Q,P)=\left(f_{[B]Q,a}(P)\cdot f_{Q,b}(P)\cdot\frac{g_{[aB]Q,[b]Q}(P)}{g_{[A]Q}(P)}\right)^{(q^k-1)/n}$$

$$=\left(\frac{f_{Q,A}(P)}{f_{Q,B}^{a}(P)}\right)^{(q^k-1)/n}$$

如果 $f_{Q,A}(P)$ 和 $f_{Q,B}(P)$ 是非退化对的 Miller 函数，则 $R_{A,B}(Q,P)$ 也是非退化对。

令 L_1，L_2，M_1，$M_2\in Z$，使得 $e_n^{L_1}(Q,P)=(f_{Q,A}(P))^{M_1\cdot(q^k-1)/n}$

$$e_n^{L_2}(Q,P)=(f_{Q,B}(P))^{M_2\cdot(q^k-1)/n}$$

令 $M=lcm(M_1,M_2)$，$m=(M/M_1)\cdot L_1-a\cdot(M/M_2)\cdot L_2$。

为了非退化，n 不能整除 m，有：

$$e_n^m(Q,P)=e_n^{\frac{M}{M_1}L_1-a\frac{M}{M_2}L_2}(Q,P)=\frac{e_n(Q,P)^{L_1\frac{M}{M_1}}}{e_n(Q,P)^{aL_2\frac{M}{M_2}}}=\left(\frac{f_{Q,A}(P)}{f_{Q,B}(P)^a}\right)^{M\cdot(q^k-1)/n}$$

易见 $e_n^m(Q,P)=R_{A,B}(Q,P)^M$。

一般来说，不是任意整数对 $(A;B)$ 都能给出非退化对，$(A;B)$ 有四种选择：

a) $(A;B)=(q^i;n)$；

b) $(A;B)=(q;T_1)$；

c) $(A;B)=(T_i;T_j)$；

d) $(A;B)=(n;T_i)$。

其中 $T_i \equiv q^i \pmod n$，$i \in Z$，$0 < i < k$。

情形 1：$(A;B)=(q^i;n)$，由于 $A=aB+b$，即 $q^i=an+b$. 因此 $b \equiv q^i \pmod n$，

又 $\left(\frac{f_{Q,q^i}(P)}{f^a_{Q,n}(P)}\right)^{(q^k-1)/n} = R_{A,B}(Q,P) = \left(f_{[n]Q,a}(P) f_{Q,b}(P) \frac{g_{[an]Q,[b]Q}(P)}{g_{[q^i]Q}(P)}\right)^{(q^k-1)/n}$

因为 $b \equiv q^i \pmod n$，所以 $g_{[an]Q,[b]Q}(P) = g_{[q^i]Q}(P)$。更进一步，$f_{[n]Q,a}(P)=1$，因此：

$$R_{A,B}(Q,P) = f_{Q,q^i}(P)^{(q^k-1)/n}$$

情形 2：$(A;B)=(q;T_1)$，即 $q=aT_1+b$，则：

$$\left(\frac{f_{Q,q}(P)}{f^a_{Q,T_1}(P)}\right)^{(q^k-1)/n} = R_{A,B}(Q,P) = \left(f_{[T_1]Q,a}(P) f_{Q,b}(P) \frac{g_{[aT_1]Q,[b]Q}(P)}{g_{[q]Q}(P)}\right)^{(q^k-1)/n}$$

由于 $f_{[T_1]Q,a}(P) = f^q_{Q,a}(P)$，因此：

$$R_{A,B}(Q,P) = \left(f^q_{Q,a}(P) f_{Q,b}(P) \frac{g_{[aT_1]Q,[b]Q}(P)}{g_{[q]Q}(P)}\right)^{(q^k-1)/n}$$

情形 3：$(A;B)=(T_i;T_j)$，即 $T_i=aT_j+b$，有：

$$\left(\frac{f_{Q,T_i}(P)}{f^a_{Q,T_j}(P)}\right)^{(q^k-1)/n} = R_{A,B}(Q,P) = \left(f_{[T_j]Q,a}(P) f_{Q,b}(P) \frac{g_{[aT_j]Q,[b]Q}(P)}{g_{[q^i]Q}(P)}\right)^{(q^k-1)/n}$$

同样，因为 $f_{[T_j]Q,a}(P) = f^{qj}_{Q,a}(P)$，因此：

$$R_{A,B}(Q,P) = \left(f^{qj}_{Q,a}(P) f_{Q,b}(P) \frac{g_{[aT_j]Q,[b]Q}(P)}{g_{[q^i]Q}(P)}\right)^{(q^k-1)/n}$$

情形 4：$(A;B)=(n;T_i)$，即 $n=aT_i+b$，因此：

$$\left(\frac{f_{Q,n}(P)}{f^a_{Q,T_i}(P)}\right)^{(q^k-1)/n} = R_{A,B}(Q,P) = \left(f_{[T_i]Q,a}(P) f_{Q,b}(P) \frac{g_{[aT_i]Q,[b]Q}(P)}{g_{[n]Q}(P)}\right)^{(q^k-1)/n}$$

同样，由 $f_{[T_i]Q,a}(P) = f^{q_i}_{Q,a}(P)$ 得：

$$R_{A,B}(Q,P) = \left(f^{q_i}_{Q,a}(P) f_{Q,b}(P) \frac{g_{[aT_i]Q,[b]Q}(P)}{g_{[n]Q}(P)}\right)^{(q^k-1)/n}$$

情形 1 的 R-ate 对也称 Ate_i 对。情形 2、情形 3、情形 4 的对计算需要两个长度为 $\log a$ 和 $\log b$ 的 Miller 循环。情形 2 和情形 4 只能改变一个参数 i 来获得有效对，情形 3 可以改变两个参数。因此，一般都选择情形 3 的 R-ate 对，这时 $(A;B)=(T_i;T_j)$。

为了降低 Miller 循环次数，可以尝试不同的 i 和 j，使整数 a 和 b 足够小，从而使 Miller 循环次数减至 $\log(r^{1/\phi(k)})$。

C.6.2 BN 曲线上 R-ate 对的计算

Barreto 和 Naehrig 提出了一种构造素域 F_q 上适合对的常曲线的方法，通过此方法构造的曲线称为 BN 曲线。BN 曲线方程为 $E: y^2=x^3+b$，其中 $b \neq 0$. 嵌入次数 $k=12$，曲线阶 r 也是素数。

基域特征 q，曲线阶 r，Frobenius 映射的迹 tr 可通过参数 t 来确定：

$q(t)=36t^4+36t^3+24t^2+6t+1$

$r(t)=36t^4+36t^3+18t^2+6t+1$

$tr(t)=6t^2+1$

其中 $t \in Z$ 是任意使得 $q=q(t)$ 和 $r=r(t)$ 均为素数的整数，为了达到一定的安全级别，t 应足够大，至少达到 63 比特。

BN 曲线存在定义在 F_{q^2} 上的 6 次扭曲线 E'：$y^2=x^3+\beta b$，其中 $\beta \in F_{q^2}$，并且在 F_{q^2} 上既不是二次元也不是三次元，选择 β 使得 $r \mid \sharp E'(F_{q^2})$，$G_2$ 中点可用扭曲线 E' 上的点来表示，$\phi_6: E' \to E: (x,y) \mapsto (\beta^{-1/3}x, \beta^{-1/2}y)$。因此对的计算限制在 $E(F_q)$ 上点 P 和 $E'(F_{q^2})$ 上点 Q'。

π_q为 Frobenius 自同态，$\pi_q: E \to E$，$\pi_q(x, y)=(x^q, y^q)$。

$\pi_{q^2}: E \to E$，$\pi_{q^2}(x, y)=(x^{q^2}, y^{q^2})$。

R-ate 对的计算：

输入：$P \in E(F_q)[r]$，$Q \in E'(F_{q^2})[r]$，$a=6t+2$。

输出：$R_a(Q, P)$。

a) 设 $a=\sum_{i=0}^{L-1} a_i 2^i$，$a_{L-1}=1$。

b) 置 $T=Q$，$f=1$。

c) 对 i 从 $L-2$ 降至 0，执行：

1) 计算 $f=f^2 \cdot g_{T,T}(P)$，$T=[2]T$；

2) 若 $a_i=1$，计算 $f=f \cdot g_{T,Q}(P)$，$T=T+Q$。

d) 计算 $Q_1=\pi_q(Q)$，$Q_2=\pi_{q^2}(Q)$。

e) 计算 $f=f \cdot g_{T,Q_1}(P)$，$T=T+Q_1$。

f) 计算 $f=f \cdot g_{T,-Q_2}(P)$，$T=T-Q_2$。

g) 计算 $f=f^{(q^{12}-1)/r}$。

h) 输出 f。

关于 Weil 对、Tate 对、Ate 对、R-ate 对的更多计算方法参见参考文献[18]、[21]、[32]、[37]、[45]、[47]、[50]、[56]、[57]和[58]。

C.7 适合对的椭圆曲线

对于超奇异曲线，双线性对的构造相对容易，但对于随机生成的曲线，构造可计算的双线性对比较困难，因此采用常曲线时，需要构造适合对的曲线。

假设 E 是定义在 F_q 上的椭圆曲线，如果以下三个条件成立，则称 E 是适合对的曲线：

a) $\#E(F_q)$有一个不小于 $\sqrt{q}$ 的素因子 r；

b) E 相对于 r 的嵌入次数小于 $\log_2(r)/8$；

c) $r \pm 1$ 的最大素因子的规模与 r 相当。

构造适合对的椭圆曲线的步骤如下：

步骤 1：选定 k，计算整数 t、r、q，使得存在一条椭圆曲线 $E(F_q)$，其迹为 t，具有一个素数阶 r 的子群且嵌入次数为 k；

步骤 2：利用复乘方法在 F_q 上计算该曲线的方程参数。

构造适合对的椭圆曲线的方法参见参考文献[16]、[20]、[21]、[22]、[24]、[30]、[31]、[33]、[34]、[48]、[51]、[52]、[57]和[64]。

附 录 D
（资料性附录）
数论算法

D.1 有限域中的运算

D.1.1 有限域中的指数运算

设 a 是正整数，g 是域 F_q 上的元素，指数运算是计算 g^a 的运算过程。通过以下的二进制方法可以有效地执行指数运算。

输入：正整数 a，域 F_q，域元素 g。

输出：g^a。

a） 置 $e=a \bmod (q-1)$，若 $e=0$，则输出 1。

b） 设 e 的二进制表示是 $e_r e_{r-1} \ldots e_1 e_0$，其最高位 e_r 为 1。

c） 置 $x=g$。

d） 对 i 从 $r-1$ 降至 0 执行：

1） 置 $x=x^2$；

2） 若 $e_i=1$，则置 $x=g \cdot x$。

e） 输出 x。

其他加速算法参见参考文献[25]和[44]。

D.1.2 有限域中的逆运算

设 g 是域 F_q 上的非零元素，则逆元素 g^{-1} 是使得 $g \cdot c=1$ 成立的域元素 c。由于 $c=g^{q-2}$，因此求逆可通过指数运算实现。若 q 是素数，g 是满足 $1 \leqslant g \leqslant q-1$ 的整数，则 g^{-1} 是整数 c，$1 \leqslant c \leqslant q-1$，且 $g \cdot c \equiv 1 \pmod q$。

输入：域 F_q，F_q 中的非零元素 g。

输出：逆元素 g^{-1}。

a） 计算 $c=g^{q-2}$（参见 D.1.1）；

b） 输出 c。

更为有效的方法是扩展的欧几里德(Euclid)算法，参见参考文献[44]。

D.1.3 Lucas 序列的生成

令 X 和 Y 是非零整数，X 和 Y 的 Lucas 序列 U_k，V_k 的定义如下：

$U_0=0$，$U_1=1$，当 $k \geqslant 2$ 时，$U_k=X \cdot U_{k-1}-Y \cdot U_{k-2}$；

$V_0=2$，$V_1=X$，当 $k \geqslant 2$ 时，$V_k=X \cdot V_{k-1}-Y \cdot V_{k-2}$。

上述递归式适于计算 k 值较小的 U_k 和 V_k。对大整数 k，下面的算法可有效地计算 $U_k \bmod q$ 和 $V_k \bmod q$。

输入：奇素数 q，整数 X 和 Y，正整数 k。

输出：$U_k \bmod q$ 和 $V_k \bmod q$。

a） 置 $\Delta=X^2-4Y$。

b） 设 k 的二进制表示是 $k=k_r k_{r-1} \ldots k_1 k_0$，其中最高位 k_r 为 1。

c) 置 $U=1, V=X$。

d) 对 i 从 $r-1$ 降至 0 执行：

1) 置 $(U,V)=(\ (U\cdot V) \bmod q, ((V^2+\Delta\cdot U^2)/2) \bmod q)$；

2) 若 $k_i=1$，则置 $(U,V)=(\ ((X\cdot U+V)/2) \bmod q,\ ((X\cdot V+\Delta\cdot U)/2) \bmod q)$。

e) 输出 U 和 V。

D.1.4 平方根的求解

D.1.4.1 F_q 上平方根的求解

设 q 是奇素数，g 是满足 $0\leqslant g<q$ 的整数，g 的平方根(mod q)是整数 y，即 $y^2 \bmod q=g$，$0\leqslant y<p$。

若 $g=0$，则只有一个平方根，即 $y=0$；若 $g\neq 0$，则 g 有零个或两个平方根，若 y 是其中一个平方根，则另一个平方根就是 $q-y$。

下面的算法可以确定 g 是否有平方根，若有，就计算其中一个根。

输入：奇素数 q，整数 g，$0<g<q$。

输出：若存在 g 的平方根，则输出一个平方根，否则输出“不存在平方根”。

算法 1：对 $q\equiv 3 \pmod 4$，即存在正整数 u，使得 $q=4u+3$。

a) 计算 $y=g^{u+1} \bmod q$(参见 D.1.1)；

b) 计算 $z=y^2 \bmod q$；

c) 若 $z=g$，则输出 y；否则输出“不存在平方根”。

算法 2：对 $q\equiv 5 \pmod 8$，即存在正整数 u，使得 $q=8u+5$。

a) 计算 $z=g^{2u+1} \bmod q$(参见 D.1.1)；

b) 若 $z\equiv 1 \pmod q$，计算 $y=g^{u+1} \bmod q$，输出 y，终止算法；

c) 若 $z\equiv -1 \pmod q$，计算 $y=(2g\cdot(4g)^u) \bmod q$，输出 y，终止算法；

d) 输出“不存在平方根”。

算法 3：对 $q\equiv 1 \pmod 8$，即存在正整数 u，使得 $q=8u+1$。

a) 置 $Y=g$；

b) 生成随机数 X，$0<X<q$；

c) 计算 Lucas 序列元素(参见 D.1.3)：$U=U_{4u+1} \bmod q$，$V=V_{4u+1} \bmod q$；

d) 若 $V^2\equiv 4Y \pmod q$，则输出 $y=(V/2) \bmod q$，并终止；

e) 若 $U \bmod q\neq 1$ 且 $U \bmod q\neq q-1$，则输出“不存在平方根”，并终止；

f) 返回步骤 b)。

D.1.4.2 F_{q^2} 上平方根的求解

设 q 是奇素数，对于二次扩域 F_{q^2}，假设约化多项式为 $f(x)=x^2-n$，$n\in F_q$，则 F_{q^2} 中元素 β 可表示成 $a+bx$ 的形式，$a, b\in F_q$，则 β 的平方根为：

$$\sqrt{\beta}=\sqrt{a+bx}=\pm\left(\sqrt{\frac{a+\sqrt{a^2-nb^2}}{2}}+\frac{xb}{2\sqrt{\frac{a+\sqrt{a^2-nb^2}}{2}}}\right) \text{ 或}$$

$$\pm\left(\sqrt{\frac{a-\sqrt{a^2-nb^2}}{2}}+\frac{xb}{2\sqrt{\frac{a-\sqrt{a^2-nb^2}}{2}}}\right)$$

下面的算法可以确定 β 是否有平方根，若有，就计算其中一个根。

输入：F_{q^2} 中元素 $\beta=a+bx$ 且 $\beta\neq0$，q 为奇素数。

输出：若存在 β 的平方根，则输出一个平方根 z，否则输出“不存在平方根”。

a) 计算 $U=a^2-nb^2$。

b) 利用 D.1.4.1 的方法求 $U \bmod q$ 的平方根，若 $U \bmod q$ 的平方根存在，记作 w_i，即 $w_i^2=U \bmod q$，$i=1,2$，转步骤 c)；否则输出“不存在平方根”，并终止。

c) 对 i 从 1)～2)执行：

1) 计算 $V=(a+w_i)/2$；

2) 利用 D.1.4.1 的方法求 $V \bmod q$ 的平方根，若 $V \bmod q$ 的平方根存在，任取一个根 y，即 $y^2=V \bmod q$，转步骤 d)；若 $V \bmod q$ 的平方根不存在且 $i=2$，输出“不存在平方根”，并终止算法。

d) 计算 $z_1=b/2y \pmod q$，令 $z_0=y$。

e) 输出 $z=z_0+z_1x$。

D.1.4.3 F_{q^m} 上平方根的求解

D.1.4.3.1 F_{q^m} 上平方元检测

设 q 是奇素数，且 $m\geqslant2$，g 是域 F_{q^m} 中非零元素，下面算法给出 g 是否为一个平方元的检测。

输入：域元素 g。

输出：若 g 是平方元则输出“是平方元”，否则输出“不是平方元”。

a) 计算 $B=g^{(q^m-1)/2}$（参见 D.1.1）；

b) 若 $B=1$，则输出“是平方元”；

c) 若 $B=-1$，则输出“不是平方元”。

D.1.4.3.2 F_{q^m} 上平方根的求解

设 q 是奇素数，且 $m\geqslant2$。

输入：域元素 g。

输出：若 g 是平方元则输出平方根 B，否则输出“没有平方根”。

a) 随机选取非平方元 Y。

b) 计算 $q^m-1=2^u\times k$（其中 k 为奇数）。

c) 计算 $Y=Y^k$。

d) 计算 $C=g^k$。

e) 计算 $B=g^{(k+1)/2}$。

f) 若 $C^{2^{u-1}}\neq1$，则输出“没有平方根”，终止算法。

g) 当 $C\neq1$ 执行：

1) 设 i 是使 $C^{2^i}=1$ 成立的最小正整数；

2) 计算 $C=C\times Y^{2^{u-i}}$；

3) 计算 $B=B\times Y^{2^{u-i-1}}$。

h) 输出 B。

D.1.5 概率素性检测

设 u 是一个大的正整数，下面的概率算法(Miller-Rabin 检测)将确定 u 是素数还是合数。

输入：一个大的奇数 u 和一个大的正整数 T。

输出：“概率素数”或“合数”。

a) 计算 v 和奇数 w，使得 $u-1=2^v \cdot w$。

b) 对 j 从 1～T 执行：

1) 在区间[2，$u-1$]中选取随机数 a。

2) 置 $b=a^w \bmod u$。

3) 若 $b=1$ 或 $u-1$，转到步骤 6)。

4) 对 i 从 1～($v-1$)执行：

- 置 $b=b^2 \bmod u$；
- 若 $b=u-1$，转到步骤 6)；
- 若 $b=1$，输出“合数”并终止；
- 下一个 i。

5) 输出“合数”，并终止。

6) 下一个 j。

c) 输出“概率素数”。

若算法输出“合数”，则 u 是一个合数。若算法输出“概率素数”，则 u 是合数的概率小于 2^{-2T}。这样，通过选取足够大的 T，误差可以忽略。

D.2 有限域上的多项式

D.2.1 最大公因式

若 $f(x)\neq 0$ 和 $g(x)\neq 0$ 是系数在域 F_q 中的两个多项式，则唯一地存在次数最高的首一多项式 $d(x)$，其系数在域 F_q 中且同时整除 $f(x)$ 和 $g(x)$。多项式 $d(x)$ 称为 $f(x)$ 和 $g(x)$ 的最大公因子，记为 $\gcd(f(x),g(x))$。利用下面的算法(欧几里德算法)可计算出两个多项式的最大公因子。

输入：有限域 F_q，F_q 上的两个非零多项式 $f(x)\neq 0$，$g(x)\neq 0$。

输出：$d(x)=\gcd(f(x),g(x))$。

a) 置 $a(x)=f(x)$，$b(x)=g(x)$。

b) 当 $b(x)\neq 0$ 时，循环执行：

1) 置 $c(x)=a(x) \bmod b(x)$；

2) 置 $a(x)=b(x)$；

3) 置 $b(x)=c(x)$。

设 α 是 $a(x)$ 的首项系数并输出 $\alpha^{-1}a(x)$。

D.2.2 F_q 上多项式不可约性的检测

设 $f(x)$ 是 F_q 上的多项式，利用下面的算法可以有效地检测 $f(x)$ 的不可约性。

输入：F_q 上的首一多项式 $f(x)$，素数 q。

输出：若 $f(x)$ 在 F_q 上不可约，则输出“正确”；否则，输出“错误”。

a) 置 $u(x)=x$，$m=\deg(f(x))$。

b) 对 i 从 1～$\lfloor m/2 \rfloor$ 执行：

1) 计算 $u(x)=u^q(x) \bmod f(x)$；

2) 计算 $d(x)=\gcd(f(x),u(x)-x)$；

3) 若 $d(x)\neq 1$，则输出“错误”，并终止算法。

c) 输出“正确”。

D.3 椭圆曲线算法

D.3.1 椭圆曲线点的寻找

给定有限域上的椭圆曲线，利用下面的算法可有效地找出曲线上任意一个非无穷远点。

a) $E(F_p)$上点的寻找

输入：素数 p，F_p上一条椭圆曲线 E 的参数 a，b。

输出：$E(F_p)$上一个非无穷远点。

1) 选取随机整数 x，$0 \leqslant x < p$；

2) 置 $\alpha = (x^3 + ax + b) \bmod p$；

3) 若 $\alpha = 0$，则输出$(x, 0)$并终止算法；

4) 求 $\alpha \bmod p$ 的平方根 y（参见 D.1.4.1）；

5) 若步骤 4)的输出是“不存在平方根”，则返回步骤 1)；

6) 输出(x, y)。

b) $E(F_{q^m})(m \geqslant 2)$上点的寻找

输入：有限域 F_{q^m}（q 为奇素数），F_{q^m}上的椭圆曲线 E 的参数 a，b。

输出：E 上一个非无穷远点。

1) 随机选取 F_{q^m}上元素 x；

2) 在 F_{q^m}上计算 $\alpha = x^3 + ax + b$；

3) 若 $\alpha = 0$，则输出$(x, 0)$并终止算法；

4) 在 F_{q^m}上求 α 的平方根 y（参见 D.1.4.3）；

5) 若步骤 4)的输出是“不存在平方根”，则返回步骤 1)；

6) 输出(x, y)。

D.3.2 椭圆曲线上 l 阶点的寻找

本算法可用于椭圆曲线 l 阶子群生成元的求取。

输入：椭圆曲线 $E(F_q)$的参数 a、b，曲线阶 $\sharp E(F_q) = n = l \cdot r$，其中 l 为素数。

输出：$E(F_q)$上一个 l 阶点。

a) 用 D.3.1 的方法随机选取曲线上点 Q；

b) 计算 $P = [r]Q$；

c) 若 $P = O$，返回步骤 a)；

d) 输出 P。

D.3.3 扭曲线上 l 阶点的寻找

设 F_{q^m}上椭圆曲线 E 的方程：$y^2 = x^3 + ax + b$，其阶 $\sharp E(F_{q^m}) = q^m + 1 - t$，设其扭曲线 E'的方程：$y^2 = x^3 + \beta^2 \cdot ax + \beta^3 \cdot b$，$\beta$ 为 F_{q^m}上非平方元，$E'(F_{q^m})$的阶 $\sharp E'(F_{q^m}) = q^m + 1 + t$。

输入：椭圆曲线 $E(F_{q^m})$的扭曲线 $E'(F_{q^m})$的参数 a、b 和 β，扭曲线阶 $\sharp E'(F_{q^m}) = n' = l \cdot r$，其中 l 为素数。

输出：$E'(F_{q^m})$上一个 l 阶点。

a) 用 D.3.1 的方法随机选取 $E'(F_{q^m})$上点 Q。

b) 计算 $P = [r]Q$。

c) 若 $P = O$，返回步骤 a)。

否则，P 是 l 阶点。

d) 输出 P。

参 考 文 献

[1] ISO/IEC 14888-3:2004 Information technology—Security techniques—Digital signatures with appendix—Part 3:Discrete logarithm based mechanisms

[2] ISO/IEC 15946-1:2002 Information technology—Security techniques—Cryptographic techniques based on elliptic curves—Part 1:General

[3] ISO/IEC 15946-2:2002 Information technology—Security techniques—Cryptographic techniques based on elliptic curves—Part 2:Digital signatures

[4] ISO/IEC 15946-3:2002 Information technology—Security techniques—Cryptographic techniques based on elliptic curves—Part 3:Key establishment

[5] ISO/IEC 15946-4:2003 Information technology—Security techniques—Cryptographic techniques based on elliptic curves—Part 4:Digital signatures giving message recovery

[6] ITU-T Recommendation X.680 Information technology—Abstract Syntax Notation One (ASN.1):Specification of basic notation

[7] ITU-T Recommendation X.681 Information technology—Abstract Syntax Notation One (ASN.1):Information object specification

[8] ITU-T Recommendation X.682 Information technology—Abstract Syntax Notation One (ASN.1):Constraint specification

[9] ITU-T Recommendation X.683 Information technology—Abstract Syntax Notation One (ASN.1):Parametrization of ASN.1 specifications

[10] ITU-T Recommendation X.690 Information technology—ASN.1 encoding rules:Specification of Basic Encoding Rules (BER), Canonical Encoding Rules (CER) and Distinguished Encoding Rules (DER)

[11] ITU-T Recommendation X.691 Information technology—ASN.1 encoding rules:Specification of Packed Encoding Rules (PER)

[12] IEEE P1363:2000 Standard for Public Key Cryptography

[13] ANSI X9.62-1999 Public Key Cryptography for the Financial Services Industry: The Elliptic Curve Digital Signature Algorithm (ECDSA)

[14] ANSI X9.63-2001 Public Key Cryptography for the Financial Services Industry: Key Agreement and Key Transport Using Elliptic Curve Cryptography

[15] Abdalla M, Lange T, Eds. 2012. Pairing-Based Cryptography-Pairing 2012. Proceedings (2012), vol. 7708 of Lecture Notes in Computer Science, Springer-Verlag.

[16] Atkin A, Morain F. 1993. Elliptic Curves and Primality Proving, Mathematics of Computation61(203):29-68.

[17] Barbulescu R, Gaudry P, Joux A, Thome E. 2014. A Heuristic Quasi-polynomial Algorithm for Discrete Logarithm in Finite Fields of Small Characteristic. In P. Q. Nguyen and E. Oswald, editors, Advances in Cryptology: Proceedings of EUROCRYPT'14, volume 8441 of LNCS, Springer-Verlag, 1-16.

[18] Barreto P, Galbraith S, et al. 2004. Efficient Pairing Computation on Supersingular Abelian Varieties. Cryptology ePrint Archive, Report 2004/375.

[19] Barreto P, Kim H, Lynn B, et al.2002. Efficient Algorithms for Pairing-based Cryptosystems,Proceedings of CRYPTO 2002, LNCS 2442. Springer-Verlag, 354-369.

[20] Barreto P, Lynn B, Scott M. 2002. Constructing Elliptic Curves with Prescribed Embedding Degrees. In: Security in Communication Networks-SCN′2002, LNCS 2576. Springer-Verlag, 263-273.

[21] Barreto P, Lynn B, Scott M. 2003. On the Selection of Pairing-friendly Groups. In: Selected Areas in Cryptography-SAC′2003, LNCS 3006. Ottawa, Canada: Springer-Verlag, 17-25.

[22] Barreto P, Naehrig M. 2005. Pairing-friendly Elliptic Curves of Prime Order. Cryptology ePrint Archive, Report 2005/133.

[23] Boneh D, Franklin M. 2001. Identity Based Encryption from the Weil-pairing, Proceedings of CRYPTO 2001, LNCS 2139. Springer-Verlag, 213-229.

[24] Brezing F, Weng A. 2005. Elliptic Curves Sutable for Pairing Based Cryptography, Designs, Codes and Cryptography, 37: 133-141.

[25] Brickell E, Gordon D, Mccurley K, et al. 1993. Fast Exponentiation with Precomputation. In: Advances in Cryptology-EUROCRYPT'92, LNCS 658. Berlin: Springer-Verlag, 200- 207.

[26] Cao Zhenfu, Zhang Fanggou, Eds. 2013. Pairing-Based Cryptography-Pairing 2013. Proceedings (2013), vol. 8365 of Lecture Notes in Computer Science, Springer-Verlag.

[27] Cha J C, Cheon J H. 2002. An Identity-based Signature from Gap Diffie-Hellman Groups, Proceedings of PKC 2002, LNCS 2567. Springer-Verlag, 18-30.

[28] Cheng Qi, Wan Daqing and Zhuang Jincheng. 2014. Traps to the BGJT-Algorithm for Discrete Logarithms. ePrint 2014.

[29] Cheon, J. H. 2006. Security Analysis of the Strong Diffie-hellman Problem. In EUROCRYPT (2006), S. Vaudenay, Ed., vol. 4004 of Lecture Notes in Computer Science, Springer-Verlag, 1-11.

[30] Duan P, Cui S, Wah Chan C. 2005. Special Polynomial Families for Generating More Suitable Elliptic Curves for Pairing-based Cryptosystems. Cryptology ePrint Archive, Report 2005/342.

[31] Dupont R, Enge A, Morain F. 2005. Building Curves with Arbitrary Small MOV Degree over Finite Prime Fields, Journal of Cryptology, 18(2): 79-89.

[32] Eisentrager K, Lauter K, Montgomery P. 2003. Fast Elliptic Curve Arithmetic and Improved Weil-pairing Evaluation. In: Topics in Cryptology, CT-RSA03, LNCS 2612. Springer-Verlag, 343-354.

[33] Freeman D. 2006. Constructing Pairing-friendly Elliptic Curves with Embedding Degree 10. In: Algorithmic Number Theory Symposium-ANTS-VII, LNCS 4076. Springer-Verlag, 452-465.

[34] Freeman D, Scott M, Teske E. 2006. A Taxonomy of Pairing-friendly Elliptic Curves, Cryptology ePrint Archive Report 2006/372.

[35] Frey G, Müller M, Rück H. 1999. The Tate-pairing and the Discrete Logarithm Applied to Elliptic Curve Cryptosystems, IEEE Transactions on Information Theory, 45(5): 1717-1719.

[36] Galbraith S. 2001. Supersingular Curves in Cryptography, Proceedings of Asiacrypt 2001, LNCS 2248. Springer-Verlag, 495-513.

[37] Galbraith S, Harrison K, Soldera D. 2002. Implementing the Tate-pairing, Proceedings of ANTSV, LNCS 2369. Springer-Verlag, 324-337.

[38] Galbraith S, Paterson K, Eds. 2008. Pairing-Based Cryptography-Pairing 2008. Proceedings (2008), vol. 5209 of Lecture Notes in Computer Science, Springer-Verlag.

[39] Googlu F, Granger R, McGuire G, and Zumbrael J. 2013. On the Function Field Sieve and the Impact of Higher Splitting Probabilities: Application to discrete logarithms in $F_{2^{1971}}$. Cryptology

ePrint Archive, Report 2013/074.

[40] Hess F, Smart N, Vercauteren F. 2006. The Eta-pairing Revisited. Cryptology ePrint Archive,Report 2006/110.

[41] Joux A. 2013. Faster Index Calculus for the Medium Prime Case Application to 1175-bit and 1425-bit Finite Fields. In Advances in Cryptology EUROCRYPT 2013. Springer-Verlag, 177-193.

[42] Joux A. 2013. A New Index Calculus Algorithm with Complexity L(1/4 + o(1))in Very Small characteristic. In Selected Areas in Cryptography-SAC 2013, volume 8282 of Lecture Notes in Computer Science, Springer-Verlag, 355-382.

[43] Joye M, Miyaji A, Otsuka A, Eds. 2010. Pairing-Based Cryptography-Pairing 2010. Proceedings (2010), vol. 6487 of Lecture Notes in Computer Science, Springer-Verlag.

[44] Knuth D. 1981. The Art of Computer Programming(Vol 2). 2nd ed. Reading(MA):Addison-Wesley.

[45] Kobayashi T, Aoki K, Imai H. 2006. Efficient Algorithms for Tate-pairing. IEICE Trans. Fundamentals, E89-A.

[46] Koblitz N. 1987. Elliptic Curve Cryptosystems. Mathematics of Computation, 48:203-209.

[47] Lauter K, Montgomery P, Naehrig M. 2010. An Analysis of Affine Coordinates for Pairing Computation. Pairing-Based Cryptography-Pairing 2010. Proceedings (2010), vol. 6487 of Lecture Notes in Computer Science, Springer-Verlag.

[48] Lay G, Zimmer H. 1994. Constructing Elliptic Curves with Given Group Order over Large Finite Fields, In: Algorithmic Number Theory Symposium-ANTS-1, LNCS 877. Springer-Verlag, 250-263 Menezes A. 1993. Elliptic Curve Public Key Cryptosystems. Boston:Kluwer Academic Publishers.

[49] Lidl R, Niederreiter H. 1983. Finite Fields. Reading(MA):Addison-Wesley Menezes A, Okamoto T, Vanstone S. 1993. Reducing Elliptic Curve Logarithms to Logarithms in a Finite Field. IEEE Transactions on Information Theory, 39:1639-1646.

[50] Miller V. 2004. The Weil-pairing and its Efficient Calculation, Journal of Cryptology, 17: 235-261.

[51] Milne J. 2006. Complex Multiplication, http://www.jmilne.org/math.

[52] Miyaji A, Nakabayashi M, Takano S. 2001. New Explicit Conditions of Elliptic Curve Traces for FR-reduction, IEICE Transactions on Fundamentals, E84-A(5):1234-1243.

[53] Müller V. 1995. Counting the Number of Points on Elliptic Curves over Finite Fields of Characteristic Greater than Three:[Doctorate Dissertation]. Saarlandes:University of Saarlandes.

[54] Pollard J. 1978. Monte Carlo Methods for Index Computation mod p. Mathematics of Computation, 32:918-924.

[55] Schoof R. 1985. Elliptic Curves over Finite Fields and the Computation of Square Roots mod p.Mathematics of Computation, 44(170):483-494.

[56] Scott M. 2005. Computing the Tate-pairing. In:CT-RSA, LNCS 3376. Springer-Verlag, 293-304.

[57] Scott M. 2006, Implementing Cryptographic Pairings, ECC 2006.

[58] Scott M, Barreto P. 2004. Compressed Pairings. In:Advances in Cryptology Crypto′ 2004, LNCS 3152. Springer-Verlag, 140-156.

[59] Scott M, Barreto P. 2006. Generating More MNT Elliptic Curves, Designs, Codes and Cryptography, 38:209-217.

[60] Shacham H, Waters B, Eds. 2009. Pairing-Based Cryptography-Pairing 2009. Proceedings (2009), vol. 5671 of Lecture Notes in Computer Science, Springer-Verlag.

[61] Silverman J. 1986. The Arithmetic of Elliptic Curves. Berlin:springer-Verlag, GTM 106

[62] Smart N. 1999. The Discrete Logarithm Problem on Elliptic Curves of Trace One. Journal of Cryptology, 12(3):193-196.

[63] Takagi T, Okamoto T, Okamoto E, and Okamoto T, Eds. 2007. Pairing-Based Cryptography-Pairing 2007. Proceedings (2007), vol. 4575 of Lecture Notes in Computer Science, Springer-Verlag.

[64] Thuen Ø. 2006. Constructing Elliptic Curves over Finite Fields Using Complex Multiplication, Master of Science in Physics and Mathematics.